



**UNIVERSIDADE ESTADUAL DE MARINGÁ**  
**CENTRO DE CIÊNCIAS AGRÁRIAS**  
**Programa de Pós-Graduação em Ciência de Alimentos**

**Antimicrobianos naturais e radiação UV-C em  
suco de laranja concentrado contra  
*Alicyclobacillus acidoterrestris***

**TAIANA VARELA FERREIRA**

Maringá  
2022

**TAIANA VARELA FERREIRA**

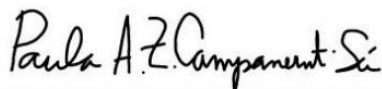
**"ANTIMICROBIANOS NATURAIS E RADIAÇÃO UV-C EM SUCO DE  
LARANJA CONCENTRADO CONTRA ALICYCLOBACILLUS  
ACIDOTERRESTRIS"**

Tese apresentada à Universidade Estadual de Maringá, como parte das exigências do Programa de Pós-graduação em Ciência de Alimentos, para obtenção do grau de Doutor em Ciência de Alimentos.



---

**Profa. Dra. Fábricia Gimenes**



---

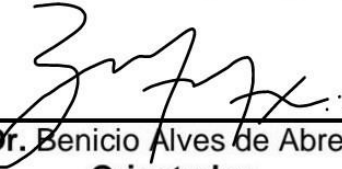
**Profa. Dra. Paula Aline Zanetti Campanerut-Sá**

---

**Profa. Dra. Fernanda Vitória Leimann**

---

**Prof. Dra. Raquel Guttierres Gomes**



---

**Prof. Dr. Benicio Alves de Abreu Filho**  
**Orientador**

**Dados Internacionais de Catalogação-na-Publicação (CIP) (Biblioteca Central - UEM, Maringá - PR, Brasil)**

F383a

Ferreira, Taiana Varela

Antimicrobianos naturais e radiação UV-C em suco de laranja concentrado contra *Alicyclobacillus acidoterrestris* / Taiana Varela Ferreira. -- Maringá, PR, 2022.

59 f.: il., figs., tabs.

Orientador: Prof. Dr. Benício Alves de Abreu Filho.

Tese (Doutorado) - Universidade Estadual de Maringá, Centro de Ciências Agrárias, Programa de Pós-Graduação em Ciência de Alimentos, 2022.

1. *Alicyclobacillus acidoterrestris* - Suco de laranja concentrado. 2. Antimicrobianos naturais - Suco de laranja concentrado. 3. Radiação UV-C - Suco de laranja concentrado. I. Abreu Filho, Benício Alves de, orient. II. Universidade Estadual de Maringá. Centro de Ciências Agrárias. Programa de Pós-Graduação em Ciência de Alimentos. III. Título.

CDD 23.ed. 664.8

Márcia Regina Paiva de Brito - CRB-9/1267

**Orientador**

Prof. Dr. Benício Alves de Abreu Filho

## BIOGRAFIA

Taiana Varela Ferreira nasceu em Maringá – PR. Possui Graduação em Bacharel em Nutrição (CESUMAR, 2008). Especialista em Nutrição e Metabolismo na Prática Clínica (UEL, 2010) e Fisiopatologia Humana (UEM, 2012). Mestre em Ciências Biológicas (UEM, 2016). Doutoranda em Ciência de Alimentos (UEM, 2021).

*Dedico esta tese  
Ao meu querido pai Ednei;  
Aos meus amados filhos Igor e Ravi.*

## **AGRADECIMENTOS**

Gostaria de agradecer à Deus pela minha vida, saúde, família e pelas minhas conquistas.

Agradeço também ao Professor Dr. Benício Alves de Abreu Filho pela oportunidade, confiança, acolhimento e paciência.

Agradeço ao meu pai Ednei e a Marisa por todo apoio.

Agradeço ao meu marido Ricardo por estar sempre ao meu lado.

Agradeço a todos os colegas de laboratório em especial Jéssica, Amanda, Tatiane, Carol, Ednéia, Márcia, Juliana, Lourdes e todas que me ajudaram e contribuiram de alguma forma.

## APRESENTAÇÃO

Esta tese de doutorado está apresentada na forma de dois artigos científicos

- 1 **FERREIRA, Taiana Varela**; MIZUTA, AMANDA GOUVEIA ; MENEZES, JÉSSICA LIMA DE ; DUTRA, TATIANE VIANA ; BONIN, EDINÉIA ; CASTRO, JULIANA CRISTINA ; SZCZEREPA, MÁRCIA MARIA DOS ANJOS ; PILAU, EDUARDO JORGE ; NAKAMURA, CELSO VATARU ; MIKCHA, JANE MARTHA GRATON ; ABREU FILHO, BENÍCIO ALVES DE . Effect of ultraviolet treatment (UV-C) combined with nisin on industrialized orange juice in *Alicyclobacillus acidoterrestris* spores. *LWT-FOOD SCIENCE AND TECHNOLOGY*, v. 133, p. 109911, 2020
- 2 TAIANA VARELA FERREIRA; AMANDA GOUVEIA MIZUTA; JÉSSICA LIMA DE MENEZES; TATIANE VIANA DUTRA; CAROLINE WOLF TRENTINI SCHIPFER; JULIANA CRISTINA CASTRO; BENÍCIO ALVES DE ABREU FILHO.

Antimicrobianos naturais como conservantes de sucos de frutas em *Alicyclobacillus acidoterrestris*: uma breve revisão

Revista: Ciência Rural

## GENERAL ABSTRACT

*Alicyclobacillus* spp. are Gram positive, thermophilic, acidophilic and non-pathogenic bacteria. Vegetative cells can grow between pH values of 2.0 to 6.0 and temperature between 20 to 70°C. In addition, they are spore-forming, giving the microorganism greater resistance to adverse environmental conditions. The species *Alicyclobacillus acidoterrestris* stands out for producing large amounts of 2 methoxyphenol (guaiacol) and 2,6 dibromophenol. Such metabolites can cause organoleptic changes in citrus drinks, leaving them unsuitable for human consumption. The juice industry uses pasteurization to destroy pathogenic and deteriorating microorganisms, however the spores resist high temperatures and can germinate after the thermal process. Thus, the contamination of juices by the microorganism has become a wide-ranging concern and can affect their marketing. Among the producing countries, Brazil holds more than 50% of the entire world production of orange juice and exports 98% of this production, with concentrated juice being the main responsible for all this success. Contamination of the beverage by *A. acidoterrestris* can lead to great economic losses for its producers. Natural compounds such as food preservatives have been extensively tested and used, as most of them do not cause health problems and also have benefits such as being a source of nutrients and having antioxidant, anti-inflammatory properties, among others. Many natural compounds do not alter the food, increase its shelf life and act against microorganisms. Plant extracts, essential oils, bacteriocins, endophytic fungus extract, kombucha and enzymes have been extensively studied against *Alicyclobacillus acidoterrestris*. In addition to natural preservatives, new technologies have been analyzed. Short wave ultraviolet light (UV-C) is a radiation from 200 to 280 nm in the UV spectrum that has germicidal potential, being a disinfection method that can be applied to food, without generating chemical residues and not providing residual radioactivity. Using this method and associating it with a natural preservative such as nisin can enhance the conservation of industrialized orange juice. The objective of this work was to evaluate the treatment of orange juice reconstituted with UV-C combined with nisin against *Alicyclobacillus acidoterrestris* and to know some natural compounds described in the scientific literature that have some action against the microorganism. To evaluate the treatment of orange juice reconstituted with UV-C combined with nisin, spores of *A. acidoterrestris* and those treated with nisin in combination with different UV-C doses (from 2.52 to 12.6KJ/m<sup>2</sup>) were used. The combination of UV-C treatment with nisin showed counts below the detection limit of the method (<1.7 log CFU/mL) both in the juice exposure at time 6 min (5.04 KJ/m<sup>2</sup>) with 7.81 µg / mL of nisin , as in time 3 min (2.52 KJ/m<sup>2</sup>) with 15.62 µg / mL of nisin ( $p < 0.05$ ). The treatment with UV-C combined with low dose nisin (2.52 KJ/m<sup>2</sup>) eliminated the spores, being a promising alternative for the beverage industry. For the investigation of natural compounds in *A. acidoterrestris*, a brief literature review was carried out, accessing the Science Direct database of the last 12 years, using the keywords *Alicyclobacillus acidoterrestris*; *Alicyclobacillus*; natural antimicrobials; natural compounds. Research with plant extracts, essential oils, bacteriocins, endophytic fungus extract, kombucha and enzymes showed efficient antimicrobial effects against *A. acidoterrestris*.

**Keywords:** UV-C radiation, reconstituted orange juice, *Alicyclobacillus*, *Alicyclobacillus acidoterrestris*, ultra high performance liquid chromatography, ascorbic acid, natural antimicrobials, natural compounds.

53  
54 *Alicyclobacillus* spp. são bactérias Gram positivas, termofílicas, acidofílicas e não  
55 patogênicas. As células vegetativas podem crescer entre valores de pH de 2,0 a 6,0  
56 e temperatura entre 20 a 70°C. Além disso, são formadoras de esporos, conferindo  
57 ao microrganismo maior resistência a condições ambientais adversas. A espécie  
58 *Alicyclobacillus acidoterrestris* se destaca por produzir grandes quantidades de 2  
59 metoxifeno (guaiacol) e 2,6 dibromofeno. Tais metabólitos podem provocar  
60 alterações organolépticas em bebidas cítricas deixando as impróprias para o  
61 consumo humano. A indústria de sucos utiliza a pasteurização para destruir  
62 microrganismos patogênicos e deteriorantes, porém os esporos resistem a altas  
63 temperaturas e podem germinar após o processo térmico. Desta forma, a  
64 contaminação de sucos pelo microrganismo tornou-se uma preocupação de ampla  
65 abrangência e pode afetar sua comercialização. Dentre os países produtores, o  
66 Brasil detém mais de 50% de toda a produção mundial de suco de laranja e exporta  
67 98% dessa produção, sendo o suco concentrado o maior responsável por todo esse  
68 sucesso. A contaminação da bebida por *A. acidoterrestris* pode desencadear grandes  
69 perdas econômicas para seus produtores. Compostos naturais como conservantes  
70 de alimentos tem sido amplamente testados e utilizados, pois em sua maioria não  
71 causam problemas para a saúde e ainda apresentam benefícios como ser fontes de  
72 nutrientes e ter propriedades antioxidantes, antiinflamatória, entre outras. Muitos  
73 compostos naturais não alteram o alimento, aumentam sua vida útil e combatem  
74 microrganismos. Extratos de plantas, óleos essenciais, bacteriocinas, extrato de  
75 fungo endofítico, kombucha e enzimas tem sido muito estudado contra  
76 *Alicyclobacillus acidoterrestris*. Além de conservantes naturais, novas tecnologias  
77 têm sido analisadas. A luz ultravioleta de onda curta (UV-C) é uma radiação de 200  
78 a 280 nm no espectro UV que apresenta potencial germicida, sendo um método de  
79 desinfecção que pode ser aplicado em alimentos, sem gerar resíduos químicos e não  
80 fornecer radioatividade residual. Utilizar este método e associá-lo a conservante  
81 natural como a nisina pode potencializar a conservação de suco de laranja  
82 industrializado. O objetivo deste trabalho foi avaliar o tratamento de suco de laranja  
83 reconstituído com UV-C combinado a nisina contra *Alicyclobacillus acidoterrestris* e  
84 conhecer alguns compostos naturais descritos na literatura científica que  
85 apresentam alguma ação contra o microrganismo. Para avaliar o tratamento de suco  
86 de laranja reconstituído com UV-C combinado a nisina foi utilizado esporos de *A.*  
87 *acidoterrestris* e tratados com nisina em combinação com diferentes doses de UV-  
88 C (de 2.52 a 12,6KJ/m<sup>2</sup>). A combinação do tratamento UV-C com nisina apresentou  
89 contagens abaixo do limite de detecção do método (<1,7 log UFC/mL) tanto na  
90 exposição do suco no tempo 6 min (5.04 KJ/m<sup>2</sup>) com 7.81 µg / mL de nisina, como  
91 no tempo 3 min (2.52 KJ/m<sup>2</sup>) com 15.62 µg / mL de nisina ( $p < 0.05$ ). O tratamento  
92 com UV-C combinado a nisina em baixa dose (2.52 KJ/m<sup>2</sup>) eliminou os esporos  
93 sendo uma alternativa promissora para a indústria de bebidas. Para a investigação  
94 de compostos naturais em *A. acidoterrestris* foi realizada uma breve pesquisa de  
95 revisão da literatura, acessando a base de dados Science Direct dos últimos 12 anos,  
96 utilizando as palavras-chave *Alicyclobacillus acidoterrestris*; *Alicyclobacillus*;  
97 antimicrobianos naturais; compostos naturais. Pesquisas com extratos de plantas,  
98 óleos essenciais, bacteriocinas, extrato de fungo endofítico, kombucha e enzimas  
99 apresentaram efeitos antimicrobiano eficiente contra *A. acidoterrestris*.

100  
101 **Palavras-chave:** radiação UV-C, suco de laranja reconstituído, *Alicyclobacillus*;  
102 *Alicyclobacillus acidoterrestris*, cromatografia líquida de ultra alta performance,  
103 ácido ascórbico, antimicrobianos naturais, compostos naturais.  
104

105  
106  
107  
**ARTIGO 1**108  
109  
**Effect of ultraviolet treatment (UV-C) combined with nisin on industrialized**  
**orange juice in *Alicyclobacillus acidoterrestris* spores**110  
111 Taiana Varela Ferreira<sup>a\*</sup>, Amanda Gouveia Mizuta<sup>a</sup>, Jéssica Lima de Menezes<sup>a</sup>, Tatiane Viana  
112 Dutra<sup>a</sup>, Edinéia Bonin<sup>a</sup>, Juliana Cristina Castro<sup>b</sup>, Márcia Maria dos Anjos Szczerpa<sup>a</sup>, Eduardo  
113 Jorge Pilau<sup>c</sup>, Celso Vataru Nakamura<sup>d</sup>, Jane Martha Graton Mikcha<sup>e</sup>, Benício Alves de Abreu  
114 Filho<sup>b</sup>115  
116 a Post-graduate Program in Food Science, Maringá State University, Av. Colombo, 5.790,  
117 Maringá, 87.020-900, Paraná, Brazil118 b Department of Basic Health Sciences, Maringá State University, Av. Colombo, 5.790, Maringá,  
119 87.020-900, Paraná, Brazil120 c Department of Chemistry, Maringá State University, Av. Colombo, 5.790, Maringá, 87.020-  
121 900, Paraná, Brazil122 d Department of Pharmacy, Maringá State University, Av. Colombo, 5.790, Maringá, 87.020-  
123 900, Paraná, Brazil e Department of Clinical Analysis and Biomedicine, Maringá State  
124 University, Av. Colombo, 5.790, Maringá, 87.020-900, Paraná, Brazil125  
126 \* Corresponding author. State University of Maringá, Campus Universitário, Laboratório de  
127 Análise de Água, Ambiente e Alimentos, Bloco T20, 3º andar, Sala 312, Av. Colombo 5790,  
128 87020, Maringá, Paraná, Brazil. Tel.: +55 (44) 3011 4955; fax: +55 (44) 3011 5941. E-mail  
129 addresses: taivferreira@gmail.com, taivarela@hotmail.com (T.V. Ferreira),  
130 amandagmizuta@gmail.com (A.G. Mizuta), eng.jessica.lima@gmail.com (J.L. Menezes),  
131 tatianevdutra@gmail.com (T.V. Dutra), bonin\_in@hotmail.com (E. Bonin),  
132 julianacristinacastro06@gmail.com (J.C. Castro), marciamanjos@ hotmail.com (M.M.A.  
133 Szczerpa), epilau@gmail.com (E.J. Pilau), cvnakamura@uem.br (C.V. Nakamura),  
134 jmgmikcha@uem.br (J.M.G. Mikcha), baafilho@uem.br (B.A. Abreu Filho).135  
136 **Keywords:** UV-C radiation Reconstituted orange juice *Alicyclobacillus acidoterrestris* UHPLC-  
137 MS Ascorbic acid138  
139 A B S T R A C T *Alicyclobacillus acidoterrestris* is a bacteria capable of spoiling industrialized  
140 orange juice, making it a problem for the beverage industry. This study evaluated the effect of  
141 UV-C radiation in combination with nisin in the reduction of *A. acidoterrestris* spores using  
142 reconstituted orange juice. *A. acidoterrestris* spores were treated with nisin (7.81 and 15.62  
143 µg/mL) in combination with different doses of UV-C (from 2.52 to 12.6 kJ/m<sup>2</sup>). The presence of  
144 vitamins in the juice after the treatments was investigated by UHPLC-HRMS using a ultra high  
145 performance liquid chromatography system. The combination of UV-C and nisin treatment  
146 showed counts below the detection limit of the method (<1.7 log CFU/mL) both at time 6 min  
147 (5.04 kJ/m<sup>2</sup>) with 7.81 µg/mL nisin and at time 3 min (2.52 kJ/m<sup>2</sup>) with 15.62 µg/mL nisin ( $p <$   
148 0.05). Ascorbic acid was found in control and 3-min UV-C samples, but with 15 min of treatment  
149 the vitamin was not detected. Thiamine was found in the three samples analyzed (T0, T3 and  
150 T15). Treatment with UV-C combined with low dose nisin (2.52 kJ/m<sup>2</sup>) eliminated spores  
151 without degrading the analyzed juice vitamins and is a promising alternative for the beverage  
152 industry.

157

## 1. Introduction

158

Orange juice is one of the drinks most chosen by consumers, and its inclusion in the diet can be explained by the nutritional value, because among the nutrients, orange contains high concentration of vitamin C. In turn, vitamin C has important physiological and biochemical functions in the body, such as collagen hydroxylation, carnitine biosynthesis, hormones and amino acids production, improved immunity against infections, have high antioxidant power and prevent disease (Vannucchi & Rocha, 2012).

164

165

Among the producing countries, Brazil owns more than 50% of all world orange juice production and exports 98% of this production as concentrated juice (Neves, 2013; Franco, 2016). However, one of the factors of concern in the production and quality of the final product, is the contamination of the drink by deteriorating microorganisms, such as the *Alicyclobacillus* genus.

170

171

*Alicyclobacillus* spp. are Gram positive, thermophilic, acidophilic and non-pathogenic bacteria. Vegetative cells can grow between pH values of 2.0–6.0 and between temperature of 20 and 70 °C. These characteristics can be attributed to the composition of its cell membrane, which is composed of  $\omega$ -cyclohexane and  $\omega$ -cycloheptane, varying among species (Steyn, Cameron & Witthuhn, 2011; Santanna, Alvarenga, Oteiza, & Pena, 2014). In addition, this bacteria is spore-forming, giving the microorganism greater resistance to adverse environmental conditions (Steyn, Cameron, & Witthuhn, 2011).

178

179

Among the genus *Alicyclobacillus*, 20 species, 2 subspecies and 2 genomic species were identified (Nakano, Takahashi, Tanaka, & Okada, 2015). However, *Alicyclobacillus acidoterrestris* species stands out for producing 2-methoxyphenol (guaiacol) and 2,6-dibromophenol metabolites that are associated with sensory changes in citrus beverages, making them unfit for human consumption (Groenewald, Gouwsand & Witthuhn, 2009; Bianchi et al., 2010; Oteiza, Soto, Alvarenga, Sant'Ana, & Giannuzzi, 2014).

185

186

The first described incident with *A. acidoterrestris* occurred in Germany in 1984, with the deterioration of apple juice (Cerny, Hennlich, & Poralla, 1984), later other studies reported unpleasant changes in citrus juice (Bianchi et al., 2010; Groenewald, Gouws, & Witthuhn, 2009; Osopale, Witthuhn, Albertyn, & Oguntoyinbo, 2016; Parish & Goodrich, 2005). The raw material of these juices can be easily contaminated, since the microorganism is in the soil, and can be introduced into the processing when the fruit has inadequate hygiene (Groenewald et al., 2009). Contamination of the beverage by *A. acidoterrestris* can trigger major economic losses for its producers.

194

195

Juice industry uses pasteurization to destroy or reduced pathogenic and spoilage microorganisms, but spores resist high temperatures and can germinate after the thermal process (Steyn et al., 2011). In other studies, pasteurized and unpasteurized fruit juices sold in various regions have been identified with the presence of *Alicyclobacillus* spp. (Oteiza, Ares, Sant'Ana, Soto & Giannuzzi, 2011; Steyn et al., 2011; Osopale et al., 2016). Thus, the use of alternative methods to reduce or eliminate spoilage microorganisms are currently proposed, such as natural compounds with antimicrobial action. Recent studies have demonstrated the action of isolated and natural compounds against *Alicyclobacillus* sp. in orange juice (Anjos et al., 2016; Dutra et al., 2019; Pascoli et al., 2018).

204

205

Among these compounds, nisin is used as a food additive (E 234) for microbial control of bacteria and spores. It is a bacteriocin produced by *Lactococcus lactis* subsp. *Lactis* approved by the Food and Drug Administration (FDA) as a food preservative. It is also important to mention that according to the World Health Organization (WHO), the application of nisin as a

206

207

208

209 food additive and processing aids were evaluated and an Acceptable Daily Intake (ADI) of 0.13  
210 mg/kg per body weight (bw), equivalent to 130 µg/kg (bw) is recommended without risk to the  
211 consumer throughout his life (Younes et al., 2017). Studies have already shown the efficacy of  
212 nisin against vegetative cells and *A. acidoterrestris* spores (Anjos et al., 2016; Pascoli et al.,  
213 2018).

214

215 In addition to compounds with inhibitory effects on bacteria, innovative technologies  
216 have been researched (Char, Mitilinaki, Guerrero, & Alzamora, 2010). Short-wave ultraviolet  
217 light (UV-C) is a 200–280 nm radiation in the UV spectrum that has germicidal potential, and  
218 is a disinfection method that can be applied to food. The FDA has approved the use of UV-C  
219 light as a method for dried fruits (FDA, 2000, 2004). Among the applications of this technique,  
220 UV disinfection has been found in water treatment (Sutton, Yu, Grodzinski, & Johnstone, 2009)  
221 and also in fruit juices (Prado et al., 2019; Tran & Farid, 2004; Tremarin, Brand˜ao, & Silva,  
222 2017; Tremarin, Canbazb, Brand˜ao & Silva, 2019).

223

224 The combination of alternative treatments to reduce or inhibit these microorganisms  
225 increases the industrial and consumer market interest and aims to reduce costs, optimize  
226 production, in addition to ensuring the maintenance of the final quality of the product and food  
227 safety for the consumer. Thus, the aim of the study was to evaluate the combination of UV-C  
228 and nisin treatment on reconstituted orange juice against *A. acidoterrestris* spores and to verify  
229 possible vitamin loss in the juice before and after UV-C treatment.

230

## 231 2. Material and methods

232

### 233 2.1. Microbial strain

234 Strain *Alicyclobacillus acidoterrestris* 0244T was obtained from the Brazilian Collection  
235 Microorganisms of the Environment and Industry (CBMAI), located at the Multidisciplinary  
236 Center for Chemical, Biological and Agricultural Research - CPQBA/UNICAMP – São Paulo –  
237 Brazil. Strain was stored in BAT broth (*Bacillus acidoterrestris*) (Deinhard, Blanz, Poralla, &  
238 Altan, 1987) with 30% glycerol at 20 °C in the Laboratory of Water, Environment and Food  
239 Microbiology of State University of Maringá.

240

### 241 2.2. Spore suspension preparation

242 Vegetative cells of *A. acidoterrestris* was cultured in tubes containing BAT broth at pH  
243 4.0 and 45 °C for 120 h, time required to obtain approximately 80% sporulation, as verified by  
244 microscopy using the spore staining technique. The tubes were then centrifuged for 3 min at  
245 10,000 rpm, washed three times with sterile distilled water and stored at 4 °C. To verify spore  
246 concentration, the suspension was placed in a water bath at 80 °C for 10 min to allow  
247 germination, followed by serial dilution in saline 0,85%, plating in BAT agar in duplicate and  
248 incubation at 45 °C for 24 h for spore counting (Prado et al., 2019).

249

### 250 2.3. Reconstituted orange juice (preparation of the culture medium)

251 Commercial concentrated orange juice (66 °Brix), obtained from an industry located in  
252 the city of Paranavaí (Paraná, Brazil), was previously analyzed to verify the absence of  
253 vegetative cells and spores of *Alicyclobacillus* spp. Briefly, it was determined by dilution and  
254 plate counting in duplicate and was expressed in CFU/mL. Concentrated juice was reconstituted  
255 with sterile water (11 °Brix – pH 4.0) using a digital refractometer (Pocket, PAL-1, ATAGO)  
256 and used as a culture medium in the experiments. UV-C transmittance at 254 nm in the  
257 reconstituted orange juice sample was measured using the spectrophotometer (T90 + UV/VIS,  
258 PG Instruments Ltd. Australia) where it was found that 98% of the incident UV-C is absorbed  
259 in a thickness of 1 mm of juice (Prado et al., 2019).

260

261

262

#### 263 2.4. Nisin

264

265 The nisin used was commercially purchased (Sigma-Aldrich, St. Louis, USA), diluted in 0.02 mol/L hydrochloric acid (HCl) in the concentrations tested as described in item 2.7, and sterilized using a 0.22 µm membrane (Millipore, Sao Paulo, Brazil) before the experiments.

266

267

#### 268 2.5. Determination of the minimum sporicidal concentration with nisin

269

270 Determination of the minimum sporicidal concentration was realized according to Anjos, Ruiz, Nakamura, and Abreu Filho (2013, with modifications). Nisin antibacterial activity against *A. acidoterrestris* spores was evaluated in 96-well plates (TPP® Switzerland) using microdilution series as described by CLSI M7-A11 (2018). Nisin was diluted in BAT broth and evaluated at concentrations ranging from 0.49 to 1000 µg/mL 5 µL spore suspension was added to each well, resulting in a final concentration of  $10^4$  CFU/mL. The plate was incubated at 45 °C for 24 h. Thereafter, a thermal shock was performed in a water bath (Nova Técnica, Piracicaba, Brazil) at 80 °C for 10 min for spore germination, followed by plating on BAT agar (10 µL) and incubation at 45 °C for 24 h. The minimum sporicidal concentration was considered as the lowest concentration where there was no colony growth due to spore germination.

271

272

#### 273 2.6. UV-C device

274

275 The treatments with UV-C radiation were performed in a chamber ( $75 \times 70 \times 45$  cm $^3$ ) manufactured at Maringá State University, Paraná, as reported by Tremarin et al. (2017) and (Prado et al., 2019), with modifications. Three monochrome UV-C emitting lamps at 254 nm (Germicide 15 W T8 - OSRAM) were used. UV-C intensity was obtained using a radiometer (Gooch & Housego, OL 756) coupled to an optical fiber (Gooch & Housego, OL 730 7q-1.0) and a 50.8 mm diameter integrating sphere (Gooch & Housego, IS-270) to provide a power density of 14 W/m $^2$ .

276

277

278 All measurements were taken at a distance of 24 cm from the lamp, under constant agitation (magnetic agitation) of juice plates during the treatment, in order to guarantee an equal distribution of the UV intensity through the sample. Radiation treatment was unidirectional (top to bottom). Orange juice turbidity was 98%. UV-C creep (kJ/m $^2$ ) was calculated as the applied power density (W/m $^2$ ) x time (s)/1000. The UV-C lamp was turned on for at least 30 min before experiments to ensure the stability of the UV-C light.

279

280

#### 281 2.7. Spore treatment combining UV-C radiation and nisin

282

283 The spore suspension (100 µL) was diluted in 900 µL of reconstituted orange juice (11 °Brix) in sterile 24-well cell culture plates, with the final spore concentration in each well approximately  $10^4$  CFU/mL. After, the plate was subjected to UV-C treatment with constant agitation in order to ensure equal distribution of the intensity of radiation incident on each well. UV-C exposure times of 0, 3, 6, 9, 12 and 15 min (denominated T0, T3, T6, T9, T12 e T15, respectively) were evaluated and thereafter heat treated (80 °C for 10 min in a water bath), followed by serial dilution and plating on BAT agar incubated at 45 °C for 24 h.

284

285

286 The spores of the control group were not subjected to treatment with UV-C exposure and were called time 0. The assay was repeated by adding nisin to the spore juice at concentrations of 7.81 and 15.62 µg/mL before the exposure to UV-C to evaluate the combination of treatments.

287

288

#### 289 2.8. Scanning electron microscopy (SEM)

290

291 The spores were subjected to scanning electron microscopy, according to the protocol proposed by Pascoli et al. (2018). The spores were exposed to UV-C for 1 min and 30 s (1.26 kJ/m $^2$ ) combined with nisin (15.62 µg/mL), and an untreated control was also performed (no nisin and no UV-C applied). The samples were washed in saline and fixed in 2.5% gluteraldehyde (Sigma-Aldrich, St. Louis, MO) and 0.1 mol/L sodium cacodylate buffer (SEM, Hatfield, PA). Then the samples were washed in 0.1 mol/L sodium cacodylate buffer and

292

315 coverslipped with poly-L-lysine, followed by dehydration with ethanol, critical point drying with  
316 CO<sub>2</sub>, gold plating and observation under a SEM (Quanta 250, FEI Company).

317

### 318 2.9. Identification of vitamins in orange juice in UHPLC-Qtof-MS

319 Reconstituted orange juice samples (11 °Brix) subjected to UV-C treatment only at 3 and  
320 15 min exposure (2.52 and 12.6 kJ/m<sup>2</sup>) and a control sample (no nisin and no UV-C application)  
321 were obtained, filtered using 0.22 µm PVDF filter and centrifuged for 10 min at 3000 rpm.

322

323 For the analysis of the identification of bioactive orange juice compounds, as Vitamin C,  
324 aliquots of the samples (1:1 in methanol HPLC purity) were analyzed by UHPLC-HRMS using  
325 a Nexera X2 Ultra High Performance Liquid Chromatography System. The System was  
326 equipped with 2 LC-30AD pumps and Shimadzu XR-ODSIII column (150 × 2 mm) maintained  
327 at 40 °C with a linear elution gradient using ultrapure water (0.1% formic acid) (A) and  
328 acetonitrile (0.1% formic acid) (B) as solvents, both of LC-MS purity. Chromatographic  
329 separation was performed within 20 min.

330

331 The gradient used was: 1 min, 95% solvent A and 5% solvent B; 10 min, 50% solvent A  
332 and 50% solvent B; 12 min, 5% solvent A and 95% solvent B; 13 min, 5% solvent A and 95%  
333 solvent B; 17 min, 95% solvent A and 5% solvent B; and 20 min, 95% solvent A and 5% solvent  
334 B. The flow was maintained at 0.20 mL/min throughout the chromatographic separation. The  
335 mass spectrometer (MS) used was Q-tof Impact II model (Bruker, Germany) with electrospray  
336 ionization source was used in Auto MS/MS acquisition mode. The three most intense ions from  
337 each chromatographic peak were selected. The acquisition rate was 4 Hz (MS and MS/MS), and  
338 *m/z* 50–1200 range. The mass spectrum was collected using ESI in positive ionization mode,  
339 with 4.50 kV capillary voltage, with temperature of 200 °C, and flow rate of 8 L/min gas  
340 solvation.

341

342 Daughter scans (product ion scans) were performed using collision-induced dissociation  
343 (ICD) of an energy ramp at 7.0 eV and 3.06 10-3 mBar of collision gas pressure in the collision  
344 chamber (Castro et al., 2018). Ion chromatograms and MS and MS/MS spectra were visualized  
345 using Software Data Analysis 4.3, then compared with existing literature and analyzed using an  
346 open access mass spectrometry database such as the Human Metabolome Database (HMDB)  
347 (Wishart et al., 2013).

348

### 349 2.10. Statistical analysis

350 The results related to UV-C treatments with or without nisin were subjected to analysis  
351 of variance (ANOVA) and Tukey test (*p* < 0.05) for comparison of means, using the statistical  
352 program SISVAR version 5.3.

353

## 354 3. Results and discussion

355

### 356 3.1. Determination of the minimum sporicidal concentration with nisin

357 The minimum sporicidal concentration of nisin found in the present study was 31.25  
358 µg/mL; this concentration was also found by Ruiz et al. (2013). In the literature it is already well  
359 established that nisin has antibacterial activity against vegetative cells and *A. acidoterrestris*  
360 spores (Anjos et al., 2016; Bevilacqua, Sinigaglia, & Corbo, 2008; Pascoli et al., 2018). This  
361 nisin activity against vegetative cells can be justified by its mechanism of action that occurs due  
362 to the interaction between bacteriocin and cytoplasmic membrane phospholipids, forming non-  
363 selective pores, which trigger an accelerated flow of ions, amino acids and ATP, resulting in cell  
364 collapse and death. Thomas and Delves-Broughton (2005) reports in a study that nisin acts  
365 directly on spore, inducing the inhibition of germination (Bevilacqua et al., 2008; Yamazaki,  
366 Murakami, Kawai, Inoue, & Matsuda, 2000).

367

The addition of nisin has been also evaluated in fruit juices against other microorganisms. Oliveira Junior, Couto, Barbosa, Carnelossi, and Moura (2015) evaluated the action of nisin against *A. acidoterrestris*, *Bacillus cereus*, *Staphylococcus aureus* and *Listeria monocytogenes* in cashew, soursop, peach, mango, passion fruit, orange, guava and cupuacu juices. This research observed its antibacterial activity in juices until 30 days of storage, without causing changes in the sensory characteristics of the drinks, where *A. acidoterrestris* was the most sensitive organism to nisin application. Yamakazi et al. (2000) also suggested that nisin can be added directly to fruit juice. It is also important to mention that the results of the minimum sporicidal concentration found in this study for nisin are extremely below the value recommended by WHO (ADI of 0.13 mg/kg per body weight (bw)), making this study feasible for industrial application and food security.

Other studies have reported combination of nisin with enzymes, such as papain and bromelain (Anjos et al., 2016) and natural compounds (Pascoli et al., 2018) against *A. acidoterrestris* vegetative cells and spores, associated with physical methods in citrus juices. The present study is the first to evaluate nisin combination with UV-C treatment against *A. acidoterrestris* spores in reconstituted orange juice.

### 3.2. Spore treatment in reconstituted orange juice by combining UV-C radiation with nisin

From the minimum sporicidal concentration found in this study, lower concentrations (7.81 and 15.62 µg/mL) were defined to be associated with UV-C treatments. The results of spore treatment in reconstituted orange juice by combining UV-C radiation with nisin are shown in Table 1. UV-C treatment of 15 min light exposure (12.6 kJ/m<sup>2</sup>) without nisin addition to *A. acidoterrestris* spores in the reconstituted orange juice (11 °Brix) achieved a reduction of 1 Log CFU/mL compared to the control time (T0) with p < 0.05. Regarding the combination of UV-C treatment with nisin concentrations, the results were more effective, showing counts below the method detection limit (<1.7 log CFU/ mL) at 6 min exposure time (5.04 kJ/m<sup>2</sup>). with 7.81 µg/mL nisin and at time 3 min exposure (2.52 kJ/m<sup>2</sup>) with 15.62 µg/mL nisin (p < 0.05).

Study by Tremarin et al. (2017) evaluated the influence of UV-C irradiation against *A. acidoterrestris* spores in apple juice and obtained about 5 Log CFU/mL reduction after 8 min of treatment using intensity of 13.44 W/m<sup>2</sup>. Baysal, Molva, and Unluturk (2013) also evaluated the ultraviolet light effect on inactivation of *A. acidoterrestris* spores in pasteurized grape and apple juices, where they tested different intensities (1.31; 0.71 and 0.38 mW/cm<sup>2</sup>) with exposure times between 0 and 15 min. As a result, they obtained a 5.5 Log CFU/mL reduction in grape juice with an intensity of 1.31 mW/cm<sup>2</sup> (13.1 W/m<sup>2</sup>). For apple juice under the same conditions, the maximum inactivation was approximately 2 Log CFU/mL. Both studies used similar intensities and showed better log sparse reductions when compared to the present study with UV treatment without nisin combination. However, it is important to note that UV-C radiation transmittance depends on the characteristics of each juice, due to the amount of soluble solids and suspended matter in the liquid, making it difficult to compare results in different fruit juices (Keyser, Cilliers, Nel, & Gouws, 2008).

Treatment with UV radiation in orange juice has already been evaluated against other microorganisms. Tran and Farid (2004) designed a descending film UV reactor to give the drink an effective treatment and observed decimal reductions in yeast and mold (87 and 119 mJ/cm<sup>2</sup>, respectively). Gay'an, Monfort, Alvarez, and Condon (2011) demonstrated a reduction of 5 log CFU/mL *E. coli* in the treatment with combined UV radiation at a temperature of 55 °C, using a dose of 27.10 J/mL. Taze, Unluturk, Buzrul, and Alpas (2015) evaluated the natural microflora of orange juice composed mainly of yeast, used UV-C irradiation at an intensity of 1.32 mW/cm<sup>2</sup> and showed that the time and UV dose of the first decimal reduction was 31 mJ/cm<sup>2</sup>, with 5.7 min exposure. These studies prove the effectiveness of UV-C treatment in orange juice against different microorganisms, as evaluated in this study for *A. acidoterrestris*.

421

422

423

424

425

426

427

428

429

430

431

432

433

434

435

436

437

438

439

440

441

442

443

444

445

446

447

448

449

450

451

452

453

454

455

456

457

458

459

460

461

462

463

464

465

466

467

468

469

470

471

472

473

In the present study, the highlight of the results is the treatment of UV-C combined with nisin against *A. acidoterrestris* spores, mainly with the reduction of spores after 3 min (2.52 kJ/m<sup>2</sup>) exposure and 15.62 µg/mL bacteriocin. Spore elimination was observed using the lowest radiation dose applied and halved the concentration of nisin relative to sporicide. Other studies have shown that the mechanisms of action of each treatment (UV-C and nisin) are different. UV-C radiation acts directly on DNA, causing injury and inducing the formation of pyrimidine dimers called photoproducts. Repair is crucial for UV-resistance of spores and may impact spore germination (Moeller et al., 2007). It is expected that different mechanisms of action may lead to synergism of spore injury treatments.

### 3.3. Scanning electron microscopy (SEM)

The effect of treatment on *A. acidoterrestris* spores can be visualized (Fig. 1) by scanning electron microscopy. The untreated control spores were intact and had a smooth surface (Fig. 1 - A), while the treated spores (UV-C combined with 15.62 µg/mL nisin) changed structural integrity, showing depressions in their shape as results of the damages induced by the procedures.

However, to thoroughly elucidate the mechanism of action of both nisin and UV-C radiation in *A. acidoterrestris* spores, further investigation is needed. Regarding the mechanism of action, nisin acts on the cytoplasmic membrane, while UV-C radiation acts directly on the cell's DNA; thus demonstrating the difference between the two treatments (Melo, Soares, & Gonçalves, 2005; Moeller et al., 2007).

Char et al. (2010) reported that exposure of food to UV does not generate chemical residues and does not provide residual radioactivity, however the nutritional value of UV-treated fruit juice may change and compromise its quality, as some vitamins are light sensitive (Koutchma, 2009).

### 3.4. Identification of vitamins in orange juice in UHPLC-Qtof-MS

The UHPLC-Qtof-MS analysis for identification of compounds present in orange juice treated with UV-C radiation at different times is presented in Table 2. The compounds were identified and confirmed using the open access literature and free-access mass spectrometry database, such as Human Metabolome Database (HMDB). Compounds such as vitamin C (Ascorbic acid) (HMDB, ID: HMDB0000044, Wishart et al., 2013) and Thiamine (HMDB, ID: HMDB0000235, Wishart et al., 2013) have been confirmed. No other vitamins were detected in the juice. The total ion chromatograms and the total ion spectrum of vitamin C can be seen in Figs. 2–4.

Ascorbic acid was found in the reconstituted orange juice sample (11 °Brix) at control time (T0) and at 3 min (2.52 kJ/m<sup>2</sup>) exposure to UV-C radiation, but with 15 min of radiation treatment, it was not detected. Thiamine was found in the three samples analyzed (T0, T3 - 2.52 kJ/m<sup>2</sup> and T15 - 12.6 kJ/m<sup>2</sup>).

Tran and Farid (2004) investigated the effect of UV on vitamin C content in reconstituted orange juice using HPLC and observed a relationship between UV dose and vitamin C. The higher the exposure to treatment, the lower vitamin C concentration is found, reporting 17% degradation under high UV exposure (100 mJ/cm<sup>2</sup>). In addition, they found that juice's color and pH were not significantly influenced by treatment. Vitamin C degradation due to the treatment of high doses of UV-C (1.2 and 1.8 mW/cm<sup>2</sup>) has also been demonstrated in apple juice (Tikekar, Anantheswaran, & LaBorde, 2011). These studies corroborate our results, since in the higher UV-C dosage used (12.6 kJ/m<sup>2</sup>) the vitamin loss occurred, and it is also possible to observe that the lower radiation dosage used (2.52 kJ/m<sup>2</sup>) combined with 15.62 µg/mL nisin

474 eliminated *A. acidoterrestris* spores and preserved the vitamins present in the juice.

475

476 Thiamine and ascorbic acid molecules are polar, so they are soluble in aqueous solutions.  
 477 Once present in food, the stability of these vitamins depends on the composition of the  
 478 environment and may be degraded due to various factors such as pH, temperature, light, oxygen  
 479 and enzymes (Usaga, Manns, Moraru, Worobo, & Padilla-Zakour, 2017). In our study we can  
 480 observe higher resistance of thiamine molecule when compared to ascorbic acid at radiation  
 481 dosage of 12.6 kJ/m<sup>2</sup>. However, it is important to remember that future research must be carried  
 482 out to clarify the loss of vitamins related to the treatment with UV-C radiation in reconstituted  
 483 orange juice, considering UV-C treatment for 15 min that vitamin C was not identified, as well  
 484 as evaluate the maintenance of the quality of this food in relation to its storage (expiration date)  
 485 after treatment with UV-C and nisin.

486

#### 487 4. Conclusion

488

489 The UV-C radiation in the reconstituted orange juice demonstrated efficacy in eliminating  
 490 the spores of *A. acidoterrestris* and the association of UV-C with nisin was even more effective,  
 491 through the additive action of these associated treatments as applied in this study. In addition,  
 492 the natural properties of orange juice regarding vitamin C content was preserved after treatments,  
 493 with the exception of UV-C treatment for 15 min. Thus, treating orange juice with UV-C  
 494 combined with nisin becomes a promising alternative that can be used by the food industry to  
 495 eliminate *A. acidoterrestris* and maintain the final quality of the industrialized product.

496

497

498

499

500

501

502

503

504

505

506

507

508

509

510

511

512

513

514

515

516

517

518

519

520

521 Table 1. UV-C treatments without nisin (SN), UV-C with 7.81 µg/mL nisin (7.81 N) and UV-C  
 522 with 15.62 µg/mL nisin (15.62 N) at UV exposure times -C at 0, 3, 6, 9, 12 and 15 min (T0, T3,  
 523 T6, T9, T12 and T15) against *Alicyclobacillus acidoterrestris* spores performed in reconstituted  
 524 orange juice (11 ° Brix).

525

Treatments	T0	T3	T6	T9	T12	T15
------------	----	----	----	----	-----	-----

	2.52 kJ / m <sup>2</sup>	5.04 kJ / m <sup>2</sup>	7.56 kJ / m <sup>2</sup>	10.08 kJ / m <sup>2</sup>	12.6 kJ / m <sup>2</sup>
Log UFC/mL					
SN	4.64 0.10 <sup>a,A</sup>	4.54 0.10 <sup>a,A</sup>	4.08 0.07 <sup>a,B</sup>	3.24 ± 0.06 <sup>a,C</sup>	3.26 0.25 <sup>a,C</sup>
7.81 N	4.62 0.10 <sup>a,A</sup>	4.04 0.13 <sup>b,B</sup>	0 <sup>b,C</sup>	0 <sup>b,C</sup>	0 <sup>b,C</sup>
15.62 N	4.79 0.18 <sup>a,A</sup>	0 <sup>c,B</sup>	0 <sup>b,B</sup>	0 <sup>b,B</sup>	0 <sup>b,B</sup>

\* Different lower case letters (a, b, c) represent significant difference ( $p < 0.05$ ) between lines by Tukey test. Different capital letters (A, B, C) represent significant difference ( $p < 0.05$ ) between columns by Tukey test.

526

527

528

529

530

531

532

533

534

535

536

537

538

539

540

541

542

543

544

545

546

547

548

549

550

551

552

553

554

555

556

557

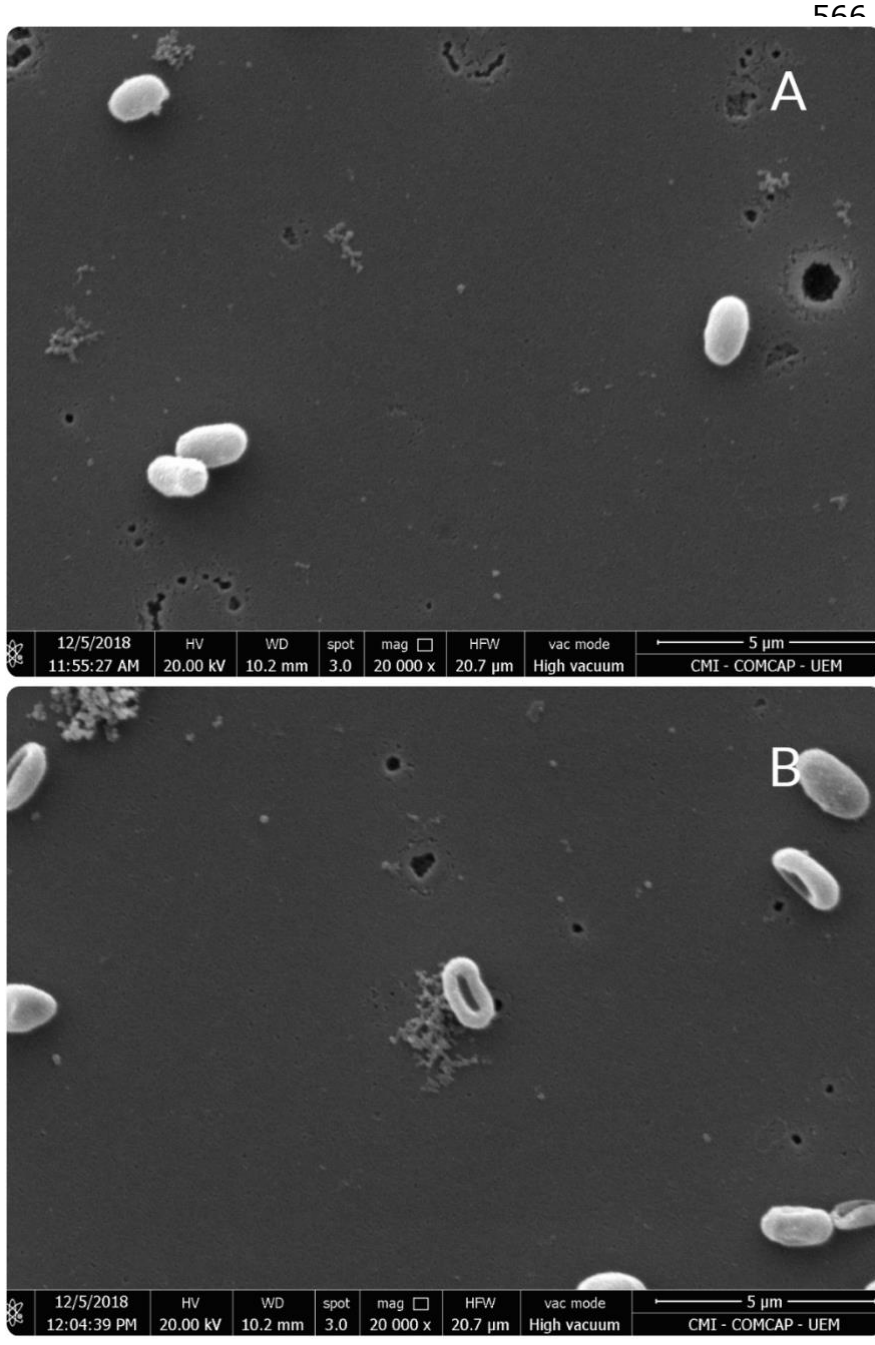
558

559

560

Figure 1. Scanning Electron Microscopy. (A) Control of *A. acidoterrestris* spores. (B) *A. acidoterrestris* spores subjected to 1 min and 30 sec of UV-C exposure with 15.62 µg/mL nisin. Both performed in BAT broth.

564  
565



603  
604  
605  
606  
607  
608  
609  
610  
611  
612  
613  
614  
615  
616

Table 2. Compounds of orange juice treated with UV-C radiation at different times without the presence of *A. acidoterrestris* spores, positive mode.

Treatment	Compound	TR (min)	[M+H] <sup>+</sup>	m/z	Error (ppm)
	Vitamin C	4.17	177.0394	83.0125; 85.0275; 89.0588; 129.0170; 141.0179; 177.0380	-7.078
Time 0	thiamine	3.16	265.1123	98.0590; 116.0333; 128.0694; 133.0597; 230.1008; 266.1123	7.8912
	Vitamin C	4.18	177.0385	83.0122; 85.0279; 89.0582; 113.0226; 129.0174; 177.0385	-5.0836
Time 3	thiamine	2.97	266.1221	98.0595; 116.0706; 128.0699; 212.0894; 230.1001; 266.1221	9.3942
Time 15	thiamine	2.94	266.1223	116.0691; 128.0698; 145.0167; 212.0916; 230.1011;	10.1457

617 TR: retention time.

618

619

620

621

622

623

624

625

626

627

628

629

630

631

632

633

634

635

636

637

638

639

640

641

642

643

644

645

646

647

648

649

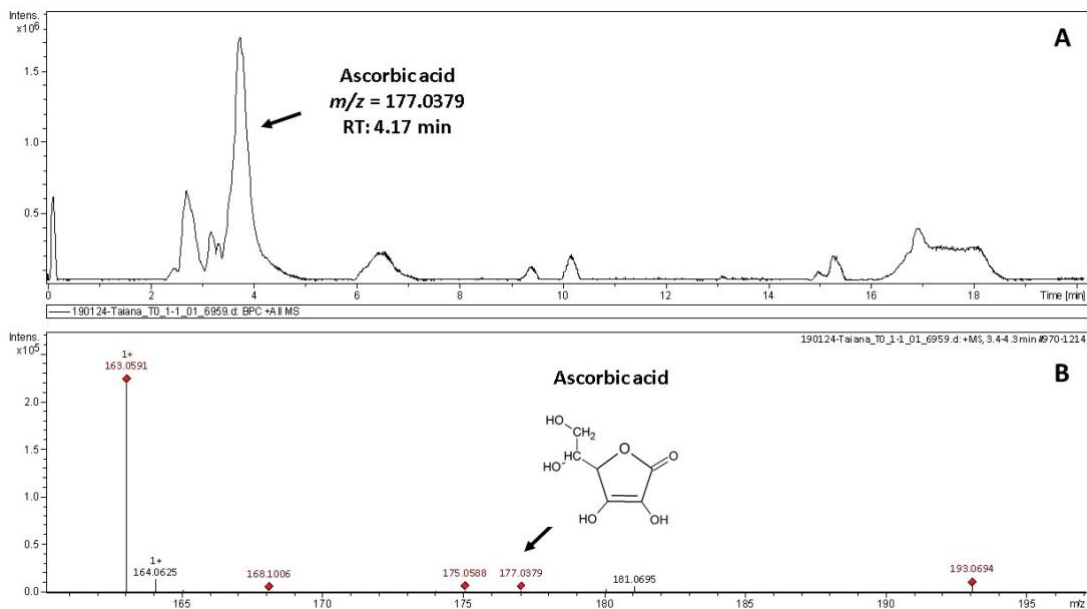
650

651

652

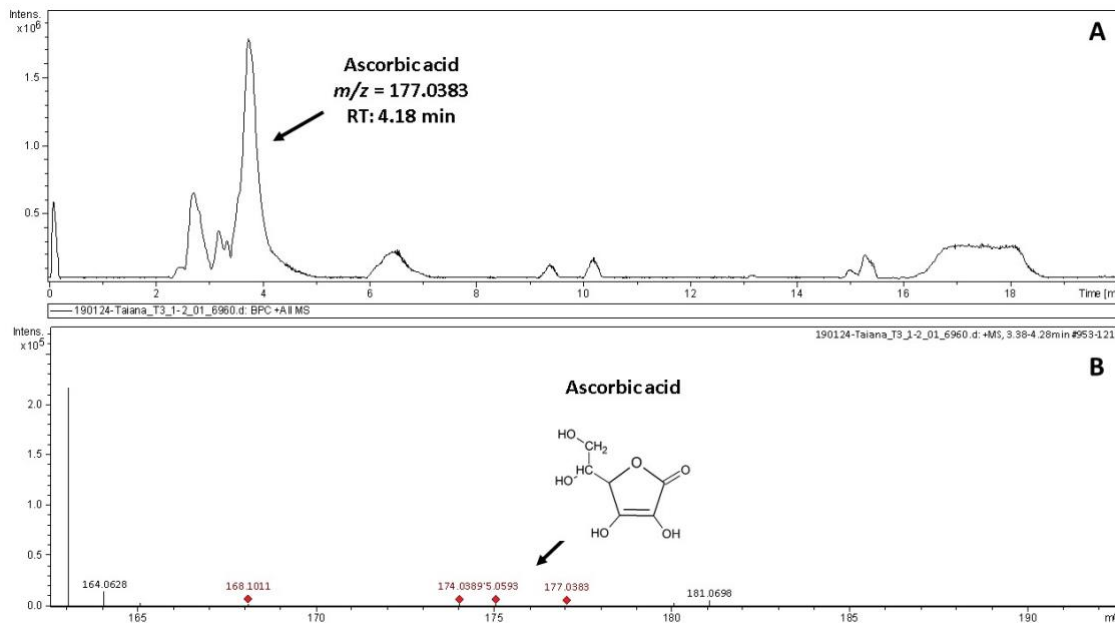
653

654



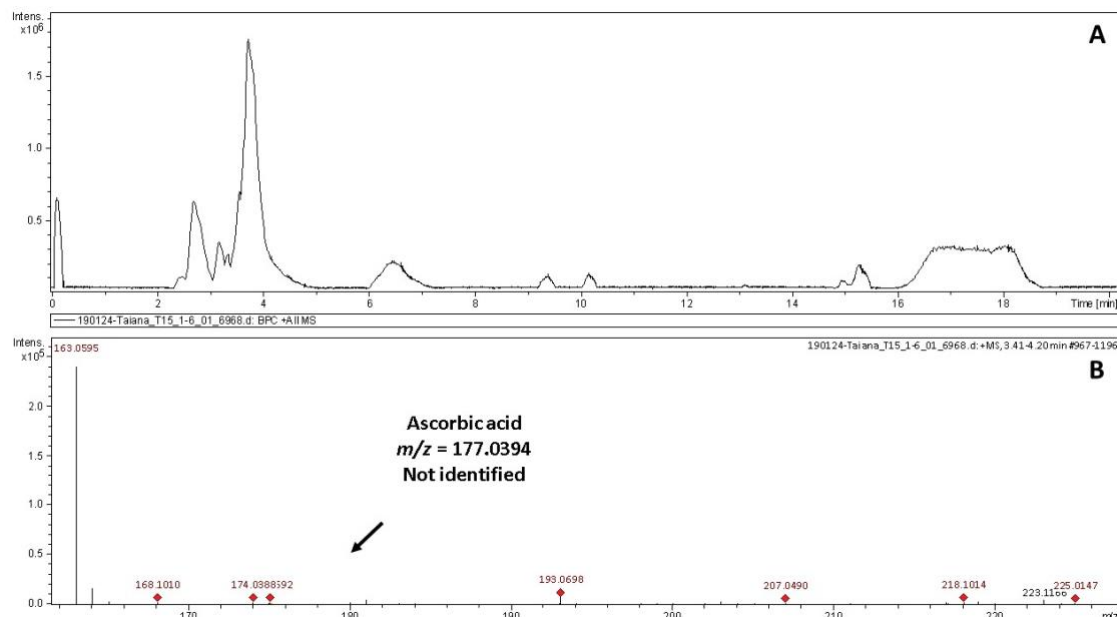
655  
656 Figure 2. Chromatographic profile of orange juice  
657 sample without UV-C treatment; B. Total Ion Spectrum (Retention Time (RT) between 3.40 to  
658 4.30 min).

659  
660  
661  
662  
663  
664  
665  
666  
667  
668  
669  
670  
671  
672  
673  
674  
675  
676  
677  
678  
679  
680  
681  
682  
683  
684  
685  
686  
687  
688  
689  
690



691  
 692 Figure 3. Chromatographic profile of orange juice. A. Total ion chromatogram for the orange  
 693 juice sample with UV-C treatment for 3 min; B. Total Ion Spectrum (Retention Time (RT))  
 694 between 3.40 to 4.30 min.

695  
 696  
 697  
 698  
 699  
 700  
 701  
 702  
 703  
 704  
 705  
 706  
 707  
 708  
 709  
 710  
 711  
 712  
 713  
 714  
 715  
 716  
 717  
 718  
 719  
 720  
 721  
 722  
 723  
 724  
 725  
 726



727  
728 Figure 4. Chromatographic profile of orange juice  
729 sample with UV-C treatment for 15 min; B. Total Ion Spectrum (Retention Time (RT)  
730 between 3.40 to 4.30 min).

731  
732  
733  
734  
735  
736  
737  
738  
739  
740  
741  
742  
743  
744  
745  
746  
747  
748  
749  
750  
751  
752  
753  
754  
755  
756  
757  
758  
759  
760  
761  
762

## References

- 763 Anjos, M. M., Ruiz, S. P., Nakamura, C. V., & Abreu Filho, B. A. (2013). Resistance of  
764 *Alicyclobacillus acidoterrestris* spores and biofilm to industrial sanitizers. *Journal of Food*  
765 *Protection*, 76, 1408–1413. <https://doi.org/10.4315/0362-028X.JFP-13-020>.
- 766
- 767 Anjos, M. M., Silva, A. A., Pascoli, I. C., Mikcha, J. M. G., Machinski, M., Jr., Peralta, R. M., et  
768 al. (2016). Antibacterial activity of papain and bromelain on *Alicyclobacillus* spp. *International*  
769 *Journal of Food Microbiology*, 216, 121–126. <https://doi.org/10.1016/j.ijfoodmicro.2015.10.007>.
- 770
- 771 Baysal, A. H., Molva, C., & Unluturk, S. (2013). UV-C light inactivation and modeling kinetics  
772 of *Alicyclobacillus acidoterrestris* spores in white grape and apple juices. *International Journal*  
773 *of Food Microbiology*, 166, 494–498. <https://doi.org/10.1016/j.ijfoodmicro.2013.08.015>.
- 774
- 775 Bevilacqua, A., Sinigaglia, M., & Corbo, M. R. (2008). *Alicyclobacillus acidoterrestris*: New  
776 methods for inhibiting spore germination. *International Journal of Food Microbiology*, 125,  
777 103–110. <https://doi.org/10.1016/j.ijfoodmicro.2008.02.030>.
- 778
- 779 Bianchi, F., Careri, M., Mangia, A., Mattarozzi, M., Musci, M., Concina, I., et al. (2010).  
780 Characterisation of the volatile profile of orange juice contaminated with *Alicyclobacillus*  
781 *acidoterrestris*. *Food Chemistry*, 123, 653–658. <https://doi.org/10.1016/j.foodchem.2010.05.023>.
- 782
- 783
- 784 Castro, J. C., Avincola, A. S., Endo, E. H., Silva, M. V., Dias Filho, B. P., Machinski Junior, M.,  
785 et al. (2018). Mycotoxicogenic potential of *Alternaria alternata* isolated from dragon fruit  
786 (*Hylocereus undatus* Haw.) using UHPLC-Qtof-MS. *Postharvest Biology and Technology*, 141,  
787 71–77. <https://doi.org/10.1016/j.postharvbio.2018.03.012>.
- 788
- 789 Cerny, G., Hennlich, W., & Poralla, K. (1984). Spoilage of fruit juice by bacilli: Isolation and  
790 characterisation of the spoiling microorganism. *Zeitschrift fur Lebensmittel-untersuchung und –*  
791 *forschung*, 179, 224–227. <https://doi.org/10.1007/bf01041898>.
- 792
- 793 Char, C. D., Mitilinaki, E., Guerrero, S. N., & Alzamora, S. M. (2010). Use of high-intensity  
794 ultrasound and UV-C light to inactivate some microorganisms in fruit juices. *Food and*  
795 *Bioprocess Technology*, 3, 797–803.
- 796
- 797 Deinhard, G., Blanz, P., Poralla, K., & Altan, E. (1987). *Bacillus acidoterrestris* sp. nov., a new  
798 thermotolerant acidophile isolated from different soils. *Systematic & Applied Microbiology*, 10,  
799 47–53. [https://doi.org/10.1016/S0723-2020\(87\)80009-7](https://doi.org/10.1016/S0723-2020(87)80009-7).
- 800
- 801 Dutra, T. V., Castro, J. C., Menezes, J. L., Ramosa, T. R., Prado, I. P., Junior, M. M., et al. (2019).  
802 Bioactivity of oregano (*Origanum vulgare*) essential oil against *Alicyclobacillus* spp. *Industrial*  
803 *Crops and Products*, 129, 345–349. <https://doi.org/10.1016/j.indcrop.2018.12.025>.
- 804
- 805 FDA. (2000). 21 CFR part 179. Irradiation in the production, processing and handling of food.  
806 *Federal Register*, 65, 71056–71058. FDA. (2004). Guidance for industry: Juice HACCP hazards  
807 and controls guidance first edition; final guidance. Available at:  
808 <http://www.fda.gov/Food/GuidanceComplianceRegulatoryInformation/GuidanceDocuments/Juice/ucm072557.htm>.
- 809
- 810
- 811 Gayán, E., Monfort, S., Alvarez, I., & Condón, S. (2011). UV-C inactivation of *Escherichia*  
812 *coli* at different temperatures. *Innovative Food Science & Emerging Technologies*, 12, 531–541.  
813 <https://doi.org/10.1016/j.ifset.2011.07.008>.
- 814
- 815 Groenewald, W. H., Gouws, P. A., & Witthuhn, R. C. (2009). Isolation, identification and

- 816 typification of *Alicyclobacillus acidoterrestris* and *Alicyclobacillus acidocaldarius* strains from  
817 orchard soil and the fruit processing environment in South Africa. *Food Microbiology*, 26, 71–  
818 76. <https://doi.org/10.1016/j.fm.2008.07.008>.
- 819
- 820 Keyser, M. M. I. A., Cilliers, F. P., Nel, W., & Gouws, P. A. (2008). Ultraviolet radiation as a  
821 non-thermal treatment for the inactivation of microorganisms in fruit juice. *Innovative Food  
822 Science & Emerging Technologies*, 9, 348–354. <https://doi.org/10.1016/j.ifset.2007.09.002>.
- 823
- 824 Koutchma, T. (2009). Advances in ultraviolet light technology for non-thermal processing of  
825 liquid foods. *Food and Bioprocess Technology*, 2, 138–155.
- 826
- 827 Melo, N. R., Soares, N. F. F., & Gonçalves, M. P. J. C. (2005). Nisina: Um conservante natural  
828 para alimentos. *Revista Ceres*, 52, 921–938.
- 829
- 830 Moeller, R., Douki, T., Cadet, J., Stackebrandt, E., Nicholson, W. L., & Rettberg, P. (2007). UV-  
831 radiation-induced formation of DNA bipyrimidine photoproducts in *Bacillus subtilis* endospores  
832 and their repair during germination. *International Microbiology*, 10, 39–46.
- 833
- 834 Nakano, C., Takahashi, N., Tanaka, N., & Okada, S. (2015). *Alicyclobacillus dauci* sp. nov., a  
835 slightly thermophilic, acidophilic bacterium isolated from a spoiled mixed vegetable and fruit  
836 juice product. *International Journal of Systematic and Evolutionary Microbiology*, 65, 716–722.  
837 <https://doi.org/10.1099/ijss.0.068957-0>.
- 838
- 839 Neves, M. F. (2013). O retrato da citricultura brasileira. In *Competitiveness of the orange juice  
840 Chain in Brazil. International food and agribusiness management review* (Vol. 16). Special Issue  
841 4.
- 842
- 843 Oliveira Junior, A. A., Couto, H. G. S. A., Barbosa, A. A. T., Carnelossi, A. G., & Moura, T. R.  
844 (2015). Stability, antimicrobial activity, and effect of nisin on the physico-chemical properties of  
845 fruit juices. *International Journal of Food Microbiology*, 211, 38–43.  
846 <https://doi.org/10.1016/j.ijfoodmicro.2015.06.029>.
- 847
- 848 Osopale, B. A., Witthuhn, C. R., Albertyn, J., & Oguntoyinbo, F. A. (2016). Culture dependent  
849 and independent genomic identification of *Alicyclobacillus* species in contaminated commercial  
850 fruit juices. *Food Microbiology*, 56, 21–28. <https://doi.org/10.1016/j.fm.2015.11.014>.
- 851
- 852 Oteiza, J. M., Ares, G., Sant'Ana, A. S., Soto, S., & Giannuzzi, L. (2011). Use of a multivariate  
853 approach to assess the incidence of *Alicyclobacillus* spp. in concentrate fruit juices marketed in  
854 Argentina: Results of a 14-year survey. *International Journal of Food Microbiology*, 151, 229–  
855 234. <https://doi.org/10.1016/j.ijfoodmicro.2011.09.004>.
- 856
- 857 Oteiza, J. M., Soto, S., Alvarenga, V. O., Sant'Ana, A. S., & Giannuzzi, L. (2014). Flavorings as  
858 new sources of contamination by deteriogenic *Alicyclobacillus* of fruit juices and beverages.  
859 *International Journal of Food Microbiology*, 172, 119–124.  
860 <https://doi.org/10.1016/j.ijfoodmicro.2013.12.007>.
- 861
- 862 Parish, M. E., & Goodrich, R. M. (2005). Recovery of presumptive *Alicyclobacillus* strains from  
863 orange fruit surfaces. *Journal of Food Protection*, 68, 2196–2200. <https://doi.org/10.4315/0362-028X-68.10.2196>.
- 865
- 866 Pascoli, I. C., Dos anjos, M. M., Silva, A. A., Lorenzetti, F. B., Cortez, D. A. G., Mikcha, J. M.  
867 G., Nakamura, T. U., et al. (2018). *Piperaceae* extracts for controlling *Alicyclobacillus  
868 acidoterrestris* growth in commercial orange juice. *Industrial Crops and Products*, 116, 224–

- 869 230. <https://doi.org/10.1016/j.indcrop.2018.02.073>.
- 870
- 871 Prado, D. B., Szczerpa, M. M. A., Capeloto, O. A., Astrath, N. G. C., Santos, N. C. A., Previdelli,  
872 I. T. S., et al. (2019). Effect of ultraviolet (UV-C) radiation on spores and biofilms of  
873 *Alicyclobacillus* spp. in industrialized orange juice. *International Journal of Food Microbiology*,  
874 305. <https://doi.org/10.1016/j.ijfoodmicro.2019.108238>.
- 875
- 876 Ruiz, S. P., Anjos, M. M., Carrara, V. S., Lima, J. N., Cortez, D. A. G., Nakamura, T. U., et al.  
877 (2013). Evaluation of the antibacterial activity of *piperaceae* extracts and nisin on  
878 *Alicyclobacillus acidoterrestris*. *Journal of Food Science*, 78, M1772–M1777. <https://doi.org/10.1111/1750-3841.12283>.
- 879
- 880
- 881 Sant'Ana, A. S., Alvarenga, V. O., Oteiza, J. M., & Peña, W. E. L. (2014). *Alicyclobacillus*.  
882 *Encyclopedia of Food Microbiology*, 1, 42–53. <https://doi.org/10.1016/B978-0-12-384730-0.00380-3>. Steyn, C. E., Cameron, M., & Withuhn, R. C. (2011). Occurrence of *Alicyclobacillus*  
883 in the fruit processing environment — a review. *International Journal of Food Microbiology*,  
884 147, 1–11. <https://doi.org/10.1016/j.ijfoodmicro.2011.03.004>.
- 885
- 886
- 887 Sutton, J. C., Yu, H., Grodzinski, B., & Johnstone, M. (2009). Relationships of ultraviolet  
888 irradiation dose of inactivation of pathogen propagules in water and hydroponic nutrient  
889 solutions. *Canadian Journal of Plant Pathology*, 22, 300–309. <https://doi.org/10.1080/07060660009500479>.
- 889
- 890
- 891 Taze, B. H., Unluturk, S., Buzrul, S., & Alpas, H. (2015). The impact of UV-C irradiation on  
892 spoilage microorganisms and colour of orange juice. *Journal of Food Science and Technoology*,  
893 52, 1000–1007. <https://doi.org/10.1007/s13197-013-1095-7>.
- 894
- 895
- 896 Thomas, L. V., & Delves-Broughton, J. (2005). Nisin. In P. M. Davidson, J. N. Sofos, & A. L.  
897 Branen (Eds.), *Antimicrobials in food* (pp. 237–262). Florida: CRC Press.
- 898
- 899 Tikekar, R. V., Anantheswaran, R. C., & LaBorde, L. F. (2011). Ascorbic acid degradation in a  
900 model apple juice system and in apple juice during ultraviolet processing and storage. *Journal of  
901 Food Science*, 76, 62–71. <https://doi.org/10.1111/j.1750-3841.2010.02015.x>.
- 902
- 903 Tran, M. T. T., & Farid, M. (2004). Ultraviolet treatment of orange juice. *Innovative Food  
904 Science & Emerging Technologies*, 5, 495–502. <https://doi.org/10.1016/j.ifset.2004.08.002>.
- 905 Tremarin, A., Brandão, T. R. S., & Silva, C. L. M. (2017). Inactivation kinetics of  
906 *Alicyclobacillus acidoterrestris* in apple juice submitted to ultraviolet radiation. *Food Control*,  
907 73, 18–23. <https://doi.org/10.1016/j.foodcont.2016.07.008>.
- 908
- 909 Tremarin, A., Canbazb, E. A., Brandão, T. R. S., & Silvaa, C. L. M. (2019). Modelling  
910 *Alicyclobacillus acidoterrestris* inactivation in apple juice using thermosonication treatments.  
911 *Lebensmittel-Wissenschaft und -Technologie- Food Science and Technology*, 102, 159–163.  
912 <https://doi.org/10.1016/j.lwt.2018.12.027>.
- 913
- 914 Usaga, J., Manns, D. C., Moraru, C. I., Worobo, R. W., & Padilla-Zakour, O. I. (2017). Ascorbic  
915 acid and selected preservatives influence effectiveness of UV treatment of apple juice.  
916 *Lebensmittel-Wissenschaft und -Technologie- Food Science and Technology*, 75, 9–16.  
917 <https://doi.org/10.1016/j.lwt.2016.08.037>.
- 918
- 919 Vannucchi, H., & Rocha, M. M. (2012). 'Ácido ascórbico (vitamin a C). In *Funções plenamente  
920 reconhecidas de Nutrientes* (Chapter 12). Wishart, D. S., Jewison, T., Guo, A. C., Wilson, M.,  
921 Knox, C., Liu, Y., et al. (2013). HMDB 3.0—the human metabolome database in 2013. *Nucleic*

- 922 *Acids Research*, 41, D801–D807. <https://doi.org/10.1093/nar/gks1065>.
- 923
- 924 Yamazaki, K., Murakami, M., Kawai, Y., Inoue, N., & Matsuda, T. (2000). Use of nisin for  
925 inhibition of *Alicyclobacillus acidoterrestris* in acidic drinks. *Food Microbiology*, 17, 315–320.  
926 <https://doi.org/10.1006/fmic.1999.0309>.
- 927
- 928 Younes, M., Aggett, P. J., Aguilar, F., Crebelli, R., Dusemund, B., Filipič, M., et al. (2017).  
929 Safety of nisin (E 234) as a food additive in the light of new toxicological data and the proposed  
930 extension of use. *EFSA Journal*, 15. <https://doi.org/10.2903/j.efsa.2017.5063>.
- 931
- 932
- 933
- 934
- 935
- 936
- 937
- 938
- 939
- 940
- 941
- 942
- 943
- 944
- 945
- 946
- 947
- 948
- 949
- 950
- 951
- 952
- 953

954 **ARTIGO 2**955  
956     **Antimicrobianos naturais como conservantes de sucos de frutas em *Alicyclobacillus***957                     *acidoterrestris*: uma breve revisão958  
959     Taiana Varela Ferreira <sup>a</sup>, Amanda Gouveia Mizuta <sup>a</sup>, Tatiane Viana Dutra <sup>a</sup>, Caroline Wolf  
960     Trentini Schipfera<sup>a</sup>, Juliana Cristina Castro <sup>b</sup>, Jane Martha Graton Mikcha <sup>c</sup>, Jéssica Lima de  
961                     Menezes <sup>a</sup>, Benício Alves de Abreu Filho\*<sup>b</sup>962     a Programa de Pós Graduação em Ciência de Alimentos, Universidade Estadual de Maringá , Av.  
963     Colombo, 5.790, Maringá, 87.020-900, Paraná, Brasil964     b Departamento de Ciencias Básica da Saúde, Universidade Estadual de Maringá, Av. Colombo, 5.790,  
965     Maringá, 87.020-900, Paraná, Brasil966     c Departamento de Análises Clínicas e Biomedicina, Universidade Estadual de Maringá, Av. Colombo,  
967     5.790, Maringá, 87.020-900, Paraná, Brasil

968

969  
970     \* Autor correspondente..Universidade Estadual de Maringá, Campus Universitário, Laboratório de  
971     Análise de Água, Ambiente e Alimentos, Bloco T20, 3º andar, Sala 312, Av. Colombo 5790, 87020,  
972     Maringá, Paraná, Brazil. Tel.: +55 (44) 3011 4955; fax: +55 (44) 3011 5941.973  
974     E-mail addresses: taivferreira@gmail.com, taivarela@hotmail.com (T.V. Ferreira),  
975     amandagmizuta@gmail.com (A.G. Mizuta), tatianevdutra@gmail.com (T.V. Dutra),  
976     carolwtrentini@gmail.com (C.W.T. Schipfer), julianacristinacastro06@gmail.com (J.C. Castro),  
977     jmgmikcha@uem.br (J.M.G. Mikcha), eng.jessica.lima@gmail.com (J.L. Menezes), baafilho@uem.br  
978     (B.A. Abreu Filho).

979

980     Palavras chave: *Alicyclobacillus acidoterrestris*; *Alicyclobacillus*; antimicrobianos naturais;  
981     compostos naturais.

982

983     Resumo

984 Foi realizada uma pesquisa de revisão da literatura, acessando a base de dados Science Direct  
985 dos últimos 12 anos, utilizando as palavras chave *Alicyclobacillus acidoterrestris*;  
986 *Alicyclobacillus*; antimicrobianos naturais; compostos naturais. Todos os resumos e artigos em  
987 texto completo foram examinados e os mais relevantes foram selecionados para triagem e  
988 inclusão nesta revisão.

989

990 1. Introdução

991 O Gênero *Alicyclobacillus* spp. foi criado em 1992, devido principalmente a presença de  
992 ácidos graxos  $\omega$ -ciclohexano ou  $\omega$ -cicloheptano, que conferem suas características de resistência  
993 ao calor e a ambientes ácidos. Atualmente são conhecidas 22 espécies isoladas de diferentes  
994 meios, e com características distintas, mas filogeneticamente compreendidos na classificação do  
995 gênero *Alicyclobacillus* (Ciuffreda et al., 2015).

996 *Alicyclobacillus acidoterrestris* é uma espécie de bactérias encontradas no solo, não  
997 patogênicas, Gram-positivas, acidofílicas(pH 2,0-6,0) e termofílicas (35-60 °C) (Bevilacqua Et  
998 AL, 2005). Essa capacidade de crescer em ampla faixa de pH e temperatura podem estar  
999 associadas à composição da membrana por conter ácidos graxos cíclicos, o que confere ao  
1000 microrganismo uma maior resistência juntamente com sua habilidade em formar esporos (Anjos  
1001 et al., 2016; Ferreira et al., 2020).

1002 A. *acidoterrestris* bactérias deteriorantes de alimentos foi identificado pela primeira  
1003 vez em suco de maçã em 1984 (Cerny, Hennlich, Poralla, 1987), posteriormente outros estudos  
1004 relataram sua contaminação em sucos de maçã, cereja, amora, toranja, manga, laranja, tomate,  
1005 uva branca, groselha preta, pêra, banana, abacaxi, entre outros (Chang, Park e Kang, 2013; Cai  
1006 et al, 2019).

1007 A deterioração dos sucos é atribuída a compostos químicos produzidos pelo A.  
1008 *acidoterrestris*, identificados como guaiacol, 2,6-dibromofenol e 2,6-diclorfenol que alteram o  
1009 odor e provocam um sabor desagradável "medicinal" e "antisséptico" (Chang, Park e Kang,

1010 2013). A pasteurização é um processo térmico utilizado por indústrias de sucos para eliminar  
1011 microorganismos indesejáveis, porém os esporos de *A. acidoterrestris* podem germinar após o  
1012 processo e provocar alterações nas características organolépticas do suco (Spinelli et al, 2010).

1013 Por muitos anos, produtos químicos sintéticos foram utilizados pela indústria de alimentos  
1014 para inibir a ação de microrganismos deteriorantes e patogênicos, porém muitas vezes esses  
1015 conservantes oferecem riscos à saúde humana como reações alérgicas, distúrbios  
1016 gastrointestinais e cânceres (Polônio e Peres, 2009; NG, MARK E CHEN, 2019; Batiha et al,  
1017 2021). O benzoato de sódio e sorbato de potássio são exemplos de conservantes químicos muito  
1018 utilizados pela indústria de sucos (Dehghan et al, 2018)

1019 Os consumidores estão ficando cada vez mais conscientes e optam por produtos que  
1020 contêm conservantes naturais. Tais compostos naturais estão presentes em extratos derivados  
1021 de ervas, especiarias, óleos essenciais e outros, também estão presentes em metabólitos  
1022 secundários de plantas, bactérias e enzimas. Muitos deles são pouco usados, estão sendo  
1023 amplamente testados e oferecem mais segurança e qualidade na conservação de alimentos. Além  
1024 disso, os conservantes naturais têm valor nutritivo considerável, favorecendo o alimento no qual  
1025 será adicionado (Batiha et al, 2021).

1026 Este trabalho buscou estudos realizados com compostos naturais com atividade  
1027 antimicrobiana que podem ser utilizados em sucos de frutas contra a células vegetativas e esporos  
1028 de *A. acidoterrestris*.

1029

1030 **2. Desenvolvimento**

1031 Os compostos naturais testados contra células vegetativas e esporos de *A. acidoterrestris*  
1032 de interesse para esta pesquisa de revisão foram extratos de plantas, óleos essenciais,  
1033 bacteriocina, extrato de fungo endofítico, kombucha e enzimas.

1034

1035 **2.1 Extratos de plantas**

1036 **2.1.1 Alecrim**

1037 *Rosmarinus officinalis L.* (alecrim) é uma espécie de planta pertencente à família das  
1038 Lamiaceae, amplamente consumida como ingrediente alimentar, principalmente como  
1039 especiarias culinárias. Tem como componentes menores o rosmanol, epiisorosmanol,  
1040 epirosmanol, rosmadial, carnosol, quinona, carnosato de metila e flavonóides que estão  
1041 relacionadas com algumas bioatividades do alecrim (Sanchez Camargo e Herrero, 2017).

1042 O alecrim tem propriedades antiinflamatórias, quimiopreventivas, antiproliferativas,  
1043 antimicrobianas, protetoras de distúrbios neurológicos e diminuem os riscos relacionados à  
1044 obesidade, diabetes e síndrome metabólica, entre outros (Sanchez Camargo e Herrero, 2017).

1045 Extrato de alecrim teve sua atividade antimicrobiana testada contra *A. acidoterrestris*  
1046 (Piskernik, 2016), os resultados do MIC estão na tabela 01 e fizeram aplicação dos extratos no  
1047 suco de maçã com reduções significativas (tabela 02).

1048

1049 **2.1.2 Semente de uva**

1050 *Vitis vinifera* (uva) é uma das maiores fruteiras do mundo, apresenta em sua composição  
1051 polifenólicos, flavonóides, catequinas, antocianinas e resveratrol. As sementes de uva  
1052 compreendem 5% em massa de uvas, sendo amplamente utilizadas na fabricação de sucos e  
1053 vinhos. Os extratos de semente de uva têm sido cada vez mais utilizados devido aos seus  
1054 benefícios, pois apresentam potentes atividades antioxidantes, anticâncer, antimicrobianas,  
1055 antienvelhecimento, anti-hepatotóxicas e antiinflamatórias. Podem ser consumidos com  
1056 segurança e são aprovados pela Food and Drug Administração (Nowshehri, 2015).

1057 O extrato de semente de uva é um derivado das sementes que são extraídas, secas e  
1058 purificadas e sua atividade contra *A. acidoterrestris* foi avaliada por Molva et al (2015). Neste  
1059 estudo, o extrato obteve reduções significativas de células vegetativas no suco de maçã (Tabela  
1060 02).

1061 **2.1.3 Romã**

1062 A romã (*Punica granatum L. Punicaceae*) é uma fruta nativa do Afeganistão, Irã, China e do  
1063 subcontinente indiano, porém é muito consumida e utilizada para tratar doenças em todo mundo.  
1064 Por muitas culturas o extrato da romã é usado para tratar inflamações, diarréia, vermes intestinais  
1065 e infertilidade. Além disso, muitos estudos já relataram seu potencial antimicrobiano,  
1066 antihelmíntico e antioxidante dos extratos de romã (Ismail et al , 2012).

1067 Molva et al (2015) avaliaram a atividade antimicrobiana do extrato de romã contra células  
1068 vegetativas e esporos de *A. acidoterrestris* em suco de maçã, obtendo redução de ambas as formas  
1069 do microrganismo com o tratamento, como mostra a Tabela 02.

1070 2.1.4. Biocitro e limão

1071 O biocitro pode ser extraído da toranja (*Citrus paradisi*), tangerina (*Citrus reticulata blanco*),  
1072 bergamota (*Citrus aurantium ss.bergamia*) e laranja doce (*Citrus sinensis*). Em sua maioria, os  
1073 compostos desse extrato são o ácido ascórbico (Vitamina C) e seus sais, com alto índice de  
1074 biodisponibilidade e ligados aos bioflavonóides cítricos naringina, hesperidina, queracetina e  
1075 rutina (Nova, 2017).

1076 Extratos de limões também apresentam muitos benefícios, pois a fruta apresenta propriedades  
1077 antioxidantes e nutricionais, são ricos em ácidos carboxílicos como ácido cítrico, ácido ascórbico,  
1078 polióis e aminoácidos livres de aminas, além disso, os extratos de casca são ricos em proteínas e  
1079 flavonóides. Além disso, tanto o biocitro como extratos de limões podem apresentar atividade  
1080 antimicrobiana (Nova, 2017; Thongam, 2021).

1081 Bevilacqua (2013) testaram biocitro e extrato de limão em suco de maçã contra esporos de  
1082 *A.acidoterrestris* e obtiveram redução de 2 logs com 16 dias e este mesmo resultado foi  
1083 alcançado, porém com apenas 6 minutos quando o tratamento do suco foi associado a um  
1084 tratamento térmico a 80 °C (tabela 02).

1085 2.1.5. Saponinas

1086 Saponinas são glicosídios anfifílicos produzidos por várias plantas e são muito utilizadas  
1087 em aplicações industriais como biossurfactantes. *Sapindus saponaria*, é uma árvore de tamanho  
1088 médio, sua fruta é usada como sabão e como medicamento para tratar diferentes doenças. Além

1089 disso, apresentam diferentes interações biológicas, pois seus frutos têm alto teor de glicosídeos  
1090 com características hidrofílicas, o que permite formar complexos com esteróides, proteínas e com  
1091 os fosfolipídios de membrana (Alberice et al, 2012; Goral et al, 2020).

1092 As saponinas apresentaram atividades como moluscicida, piscicida, antifúngico,  
1093 antimicrobiano, antiparasitário, antiinflamatório, analgésico, expectorante, antioxidante,  
1094 espermicina e ação de redução do colesterol. Mesmo não existindo relatos do seu uso para  
1095 consumo, a saponina extraída da *Sapindus saponaria L.* foi testada em suco de laranja contra  
1096 esporos de *A. acidoterrestris* (Alberice et al, 2012).

1097 Alberice et al (2012) realizaram tratamento térmico (87, 90, 95 e 99 ° C) tanto no suco de  
1098 laranja concentrado como em suco de laranja reconstituído em combinação com saponina  
1099 comercial e extratos purificados de *S. saponaria* contra esporos de *A. acidoterrestris*. Obtiveram  
1100 com a saponina comercial (100 mg/L) com 1 minuto de incubação a 99 °C uma redução de 2,34  
1101 log do ciclo para esporos no suco concentrado ( $1,0 \times 10^4$  UFC/mL) nas primeiras 24 horas de  
1102 incubação após os tratamentos. Saponina comercial e extratos purificados de *S.*  
1103 *saponaria* associados ao tratamento térmico apresentaram poder de inativação dos esporos  
1104 utilizando período de incubação maior (de 3 a 5 dias) e doses maiores (300 – 500 mg / L)tanto  
1105 em suco reconstituído com em suco concentrado.

1106

## 1107 **2.2 Óleos essenciais**

### 1108 2.2.1 Orégano

1109 Os óleos essenciais são metabólitos secundários voláteis e aromáticos de plantas e os  
1110 principais componentes ativos são aldeídos, terpenos e fenóis. Podem ser extraídos de partes  
1111 específicas da planta e apresentam propriedades antibacterianas, antifúngicas, antivirais,  
1112 antioxidantes e propriedades biológicas. Entre esses óleos, o óleo essencial de orégano apresenta  
1113 atividades antioxidantes e antimicrobianas, provavelmente devido à presença de carvacrol e  
1114 timol. Além disso, foi descrito como antiproliferativo, antiinflamatório, antidiabético e como  
1115 supressor da atividade do câncer (Chun et al, 2005; Ocana-Fuentes, 2010; Dutra et al, 2019; HU

1116 et al, 2019).

1117 Óleos essenciais tem se destacado por ter um alto potencial conservante, sendo  
1118 reconhecido seguro (GRAS) pela OMS (Organização Mundial da Saúde) e apresenta atividade  
1119 antimicrobiana contra bactérias deteriorantes de alimentos e patogênicas (Gutierrez., 2008). O  
1120 óleo essencial de orégano demonstrou terefeito contra células vegetativas de *A. acidoterrestris*,  
1121 como mostra a Tabela 02 (Dutra et al 2019).

1122 2.2.2 Timol

1123 O timol é um isômero do carvacrol, sendo derivados fenólicos de óleos essenciais e pode  
1124 ser extraído de várias plantas, como *Thymus*, *Satureja*, *Euphrasia rostkoviana*, *Lippia*,  
1125 *Coridithymus* (Najafloo, 2020). Apresenta ampla variedade de aplicações práticas como médicas,  
1126 odontológicas, veterinárias, alimentícias, agroquímicas, entre outras. Suas aplicações mais  
1127 investigadas e relatadas estão relacionadas com sua atividade antimicrobiana, antioxidante,  
1128 antiinflamatória e cicatrizante (Escobar et al, 2020).

1129 Em relação a sua atividade antimicrobiana, o timol inibe o crescimento de bactérias Gram  
1130 positivas, como *Micrococcus spp*, *Sarcina Flava*, *S. aureus*, *Bacillus licheniformis*, *B.*  
1131 *thuringiensis*, *Listeria innocua* e também de bactérias Gram negativas, como *E. coli*, *P. Vulgaris*,  
1132 *Yersinia enterocolitica*, *Pseudomonas fluorescens*, *P. putida*, etc (Najafloo, 2020).

1133 Contra *A. acidoterrestris*, estudo realizado por Cai et al (2019) avaliou o timol, como  
1134 componente do óleo essencial do tomilho, e obteve concentração inibitória mínima (MIC) e  
1135 concentração bactericida mínima (MBC) de células vegetativas de ambos foi 0,25 mg / mL. A  
1136 concentração esporicida mínima do timol foi de 0,5 mg / mL e o MBC foi superior a 1,0 mg / mL  
1137 (Tabela 01). O timol pode inibir efetivamente o crescimento de *A. acidoterrestris*, a germinação  
1138 de esporos e a produção de guaiacol, além disso, mostraram um vazamento de ácidos nucléicos  
1139 e proteínas de células e esporos do microrganismo, demonstrando um bom efeito antibacteriano  
1140 do timol. Porém, embora o estudo sugira método para a inativação de *A. acidoterrestris* em sucos  
1141 de frutas, os experimentos realizaram não foram aplicados em sucos de frutas.

1142 2.2.3 Citral e limoneno

1143 Citral e limoneno são monoterpeno alifático, compostos que são obtidos de espécies  
1144 cítricas, sendo muito usados em refrigerantes e outros produtos com sabor cítrico. Esses  
1145 compostos foram reconhecidos como GRAS pelo FDA (Bevilacqua, Corbo & Siniggia, 2010;  
1146 Cai ET AL, 2019).

1147 Citral e limoneno têm efeito antimicrobiano contra diferentes microorganismos  
1148 como *Campylobacter jejuni*, *Escherichia coli*, *L. monocytogenes*, *Salmonella* 36L36érica,  
1149 *Staphylococcus aureus* e *Bacillus* spp., supõe-se que a ação contra essas bactérias pode ser  
1150 explicada, pois em baixas concentrações afetam atividade enzimática e em altas concentrações  
1151 levam à desnaturação das proteínas (Huertas ET AL, 2014).

1152 Huertas ET AL (2014) avaliaram tratamento térmico em diferentes temperaturas  
1153 combinado à concentrações variadas de nisina, citral e limoneno contra esporos de *A.*  
1154 *acidoterrestris* em meios de aquecimento e recuperação, obtendo reduções significativas de  
1155 esporo com nisina e citral (Tabela 2), já o limoneno não apresentou ação antimicrobiana desejada.

#### 1156 2.2.4. Cinamaldeído e eugenol

1157 A canela é uma especiaria obtida da casca interna de árvores do gênero *Cinnamomum*,  
1158 sendo as espécies mais comuns a *Cinnamomum cassia* e a *Cinnamomum verum*. Essas  
1159 árvores podem crescer até 15 m de altura e as flores são arranjadas em panículas, tem cor  
1160 esverdeada e com odor característico, a fruta da canela é uma baga roxa com uma única semente  
1161 e sabor da canela ocorre pela presença de óleos essenciais aromáticos (Shreaz ET AL, 2016).

1162 O cinamaldeído é um agente aromatizador utilizado para dar sabor de canela a muitos  
1163 alimentos, produtos médicos, cosméticos e perfumes. Além disso, inibe o crescimento bacteriano  
1164 e fúngico, esses efeitos inibitórios podem ser explicados, pois interferem na atividade de  
1165 ATPases, biossíntese da parede celular e alteração da estrutura e integridade da membrana  
1166 (Shreaz ET AL, 2016).

1167 O eugenol é um monoterpeno natural encontrado em muitas plantas, incluindo botões de  
1168 cravo, casca e folhas de cinnamon, folhas de tulsi, cúrcuma, pimenta, gengibre, minério-gano e  
1169 tomilho. É muito utilizado pelas indústrias alimentícia, farmacêutica e cosmética. Apresenta

1170 atividade antioxidant, antiinflamatória, anticâncer, anticardio-vascular, antidiabética e  
1171 antibacteriana (Vijkeesh, 2021).

1172 Bevilacqua (2010) avaliaram o uso de combinação de cinamaldeído e eugenol para  
1173 verificar a germinação de esporos de *A. acidoterrestris* em suco de maçã e pode-se observar que  
1174 de fato não houve germinação dos esporos, como mostra a Tabela 02.

1175

### 1176 **2.3 Bacteriocina**

1177 2.3.1 Nisina

1178 A nisina é uma bacteriocina produzida por *Lactococcus lactis* subsp *Lactis*, seu uso foi  
1179 aprovado pela Food and Drug Administration (FDA) e é amplamente utilizada em muitos países  
1180 como conservante de alimentos. Segundo a Organização Mundial da Saúde (OMS), a nisina pode  
1181 ser utilizada como aditivo alimentar e auxiliares de processamento em uma Ingestão Diária  
1182 Aceitável (ADI) de 0,13 mg / kg por peso corporal (37L), equivalente a 130 µg / kg (bw)  
1183 recomendado sem risco para o consumidor ao longo de sua vida (Ferreira ET AL, 2020). Desta  
1184 forma, além de ser inofensiva a saúde humana, é estável ao calor e não perde sua atividade  
1185 antimicrobiana após a pasteurização, esterilização e outros métodos de processamento muito  
1186 utilizado em bebidas(Santos ET AL, 2018).

1187 Tem ação sob um amplo espectro de bactérias Gram positivas como *Lactococcus*,  
1188 *Lactobacillus*, *Streptococcus*, *Staphylococcus*, *Micrococcus*, *Pediococcus*, *Listeria*, *Bacillus*,  
1189 *Clostridium* e acid-fast *Mycobacterium* (Małaczewska 2021).

1190 A nisina demonstrou ter efeito antimicrobiano sobre o *A. acidoterrestris*. Ferreira ET AL  
1191 (2020) testou uma concentração de esporicida mínima eficaz (Tabela 1), além disso, o estudo  
1192 mostrou um efeito potencializado do tratamento ultravioleta em suco de laranja quando  
1193 acrescentado a nisina e obtiveram reduções esporos com contagens abaixo do limite de detecção  
1194 do método (<1,7 log CFU/mL, Tabela 2). Outros estudos também demonstraram o efeito

1195 antimicrobiano da nisina contra células vegetativas e esporos de *A. acidoterrestris*, porém sem  
1196 aplicações em sucos (Anjos ET AL; Pascoli ET AL, 2018; Cai ET AL, 2019).

1197 Para melhorar a ação antibacteriana da bacteriocina, Song ET AL (2019) desenvolveram  
1198 nanopartículas de óxido de ferro e abundantes grupos funcionais de dopamina, que  
1199 proporcionavam a possibilidade de se combinar com a nisina para serem utilizadas em suco de  
1200 maçã contra células e esporos *A. acidoterrestris*, como resultado a concentração de células e  
1201 esporos diminuiu de  $10^6$  para 10 UFC/mL em suco de maçã após pré-tratamento com os  
1202 compósitos na concentração de 20 mg/mL por 10 min (Tabela 02). Valores de MIC e MBC foram  
1203 realizados e estão descritos na Tabela 01.

1204 A ação nos microrganismos da nisina está descrita na literatura, ela atua com os  
1205 fosfolipídios da membrana citoplasmática da bactéria formando poros que desencadeiam fluxo  
1206 acelerado de íons, aminoácidos e ATP, resultando no colapso celular e morte. Em relação aos  
1207 esporos, a bacteriocina inibe sua germinação (Ferreira ET AL, 2020).

#### 1208 **2.4.Extrato de fungo endofítico**

1209 Fungos endofíticos são microrganismos que vivem dentro dos tecidos de plantas  
1210 hospedeiras vivas sem causar doença aparente, é uma associação em que nenhum dos parceiros  
1211 é prejudicado e o benefício de um deles ou ambos dependem da interação entre eles (Kusari,  
1212 2012). Existem relatos de que metabólitos secundários de fungos endofíticos apresentam  
1213 propriedades anticâncer, antimicrobianas, antioxidantes, imunomoduladoras, inseticidas,  
1214 antipara-síticas, antivirais e antituberculares (Mahmud, 2020).

1215 Os compostos bioativos produzidos por esses fungos são isolados e purificados com  
1216 diversas utilidades na área da agronomia, médica, farmacêutica e alimentícia. Na indústria de  
1217 alimentos, podem ter grande potencial antimicrobiano e utilizado como conservantes de origem  
1218 natural, apesar dos metabólitos secundários de fungos endofíticos terem sido pouco testados,  
1219 podem ser uma alternativa promissora na produção em escala industrial com aplicações  
1220 biotecnológicas (Silva, 2021).

1221 Silva (2021) investigou a atividade antibacteriana do extrato bruto do fungo endofítico

1222 *Flavodon flavus*, isolado de folhas de *Justicia brandegeana* contra células vegetativas e  
1223 esporuladas de *A. acidoterrestris* em suco de laranja. Os valores do MIC e MBC para células  
1224 vegetativas estão apresentados na Tabela 01. Para a concentração esporicida mínima (MSC) de  
1225 *A. acidoterrestris* reduziu o crescimento em 58% log CFU/mL usando o tratamento de extrato de  
1226 fungo a uma concentração de 1000 µg/mL.  
1227 O extrato de fungo tanto para células vegetativas como para esporos também obteve reduções  
1228 significativas realizadas no suco de laranja reconstituído, dados mostrados na Tabela 02.  
1229

## 1230 **2.5. Kombucha**

1231 Kombucha é uma bebida resultante da fermentação de chá feito da *Camellia sinensis*,  
1232 adoçado e adicionado uma cultura contendo bactérias e levedura, chamada de SCOPY  
1233 (Symbiotic Culture Of Bacteria and Yeast), e leva de 7 a 10 dias para ser desenvolvida. Embora  
1234 a composição química dessa bebida seja diferente devido a diversidade microbiana, apresentam  
1235 ácido acético, lático, glucônico, glucurônico, oxálico, sacarose não hidrolisada, glicose, frutose,  
1236 proteínas, etanol, polifenóis, vitaminas do complexo B, minerais como cobre, ferro, manganês,  
1237 níquel e zinco (Morales, 2020; ).

1238 Além disso, o kombucha tem propriedades antioxidantes, imunomoduladoras,  
1239 antitumorais, hipocolesterolêmicas, anti-hipertensivas e antimicrobianas. Em relação a sua  
1240 atividade antimicrobiana, a bebida obteve resultado contra bactérias Gram-positivas e Gram-  
1241 negativas, como *Helicobacter pylori*, *Salmonella Typhimurium*, *Salmonella Enteritidis*,  
1242 *Staphylococcus aureus*, *Staphylococcus epidermidis*, *Agrobacterium tumefaciens*, *Bacillus*  
1243 *cereus*, *Shigella sonnei*, *Escherichia coli*, *Candida glabrata*, *C. parapsilosis*, *C. tropicalis*, *C.*  
1244 *sake*, *C. dubliniensis*, *C. krusei* e *C. albicans* (Mizuta 2020 e Morales 2020).

1245 Mizuta (2020) avaliou o chá verde fermentado de 7 e 14 dias contra *A. acidoterrestris*,  
1246 foram realizadas a Concentração Inibitória Mínima e a Concentração Bactericida Mínima  
1247 (Tabela 01). Também avaliaram a aplicação de Kombuchá em 1 ×, 4 ×, 8 × de MICs em suco de  
1248 laranja contaminado com células vegetativas (6,5 log UFC / mL) e reduziu a população em até 4

1249 logs (Tabela 2).

1250

1251 **2.6. Enzimas**

1252       2.4.1 Papaína e bromelina

1253       A papaína é uma peptidase extraída do mamão (*Carica papaya*), tem uma alta capacidade  
1254       proteolítica, pois hidrolisa proteínas grandes em pequenos peptídeos e aminoácidos. Foi descrita  
1255       atuando em diversos substratos, como leite, hemoglobina, discos de colágeno e produtos de  
1256       colágeno marcados, peptídeos sintéticos, caseína, quitosano, proteína de farelo de arroz  
1257       concentrados, proteínas de soja, isolado de proteína de batata, imunoglobulinas incluindo IgG de  
1258       ovelha, IgG de coelho, IgY de frango e IgM de peixe, bovino albumina sérica (BSA), proteína  
1259       de transferência de lipídios (LTP) e proteínas de soro de leite (a-lactalbumina andb-  
1260       lactoglobulina) entre muitos outros (Fernandez-Lucas, 2017).

1261       Como antimicrobiano natural, alguns estudos descreveram a atividade da papaína e de  
1262       outros extratos de mamão contra *Bacillus subtilis*, *Enterobacter cloacae*, *Escherichia coli*,  
1263       *Listeriamonocytogenes*, *Salmonella typhimurium*, *Staphylococcus aureus* e *Proteus vulgaris*  
1264       (Anjos et al, 2016).

1265       A bromelina também é uma enzima proteolítica, porém é derivada do abacaxi (*Ananas*  
1266       *comosus*), teve sua ação antimicrobiana descrita e atividade helmíntica contra nematóides  
1267       gastrointestinais. As proteases são utilizadas principalmente nas indústrias de detergentes e  
1268       farmacêutica, seguidas pela indústria de alimentos (Anjos et al, 2016; Fernandez-Lucas, 2017).

1269       Anjos et al (2016) avaliaram o efeito antimicrobiano da papaína e bromelina contra *A.*  
1270       *acidoterrestris*, os valores de MIC e MBC estão mostrados na Tabela 1. A papaína (4 x MIC)  
1271       mostrou atividade bactericida, pois na curva de morte do microrganismo, conseguiu eliminar toda  
1272       a concentração inicial do inoculo. Neste mesmo estudo, as enzimas foram aplicadas em suco de  
1273       laranja reconstituído, mostrando-se muito eficaz contra o microrganismo (Tabela 2).

1274       Em outro estudo de Anjos et al (2018), relatou que uma das limitações da aplicação da

1275 papaína e da bromelina é a drástica diminuição da ação antibacteriana quando o produto é  
1276 submetido a altas temperaturas, como pasteurização. Desta forma, avaliaram cada enzima  
1277 microencapsulada separadamente com alginato e com quitosana para proteger seu efeito  
1278 antimicrobiano após altas temperaturas. Como resultado a papaína microencapsulada de ambas  
1279 formas apresentou baixo valores de MIC e MBC contra células vegetativas de *A. acidoterrestris*  
1280 (Tabela 1).

1281

1282 Tabela 01

1283 Valores das concentrações inibitórias mínimas (MIC), concentrações bactericidas mínimas  
 1284 (MBC), concentração esporicida minima (CEM) e concentração bactericidas mínimas de esporos  
 1285 (MBC) de *A. acidoterrestris* testados com antimicrobianos naturais por diferentes autores.

ANTIMICRO BIANO NATURAL	MIC CÉLULAS	MBC CÉLULAS	CEM ESPOROS	MBC ESPOROS	AUTORES
Extrato de alecrim com 19,660% de ácido carnósico	7,8 mg / ml	-	-	-	Piskernik, 2016
Extrato de alecrim com 40,694% de ácido carnósico	3,9 mg / ml	-	-	-	Piskernik, 2016
Óleo essencial de orégano	62,5 µg / mL	1000 µg / mL	-	-	Dutral et al 2019
Timol	0,25 mg / mL	0,25 mg / mL	0,5 mg / mL	> 1,0 mg / mL	Cai et al 2019
Nisin	-	-	31,5 mg / mL	-	Ferreira et al, 2020
Nanopartícula de nisina	1,25 mg/mL		2,5 mg/mL		Song et al (2019)
Extrato bruto de fungo	250 µg/mL	1000 µg/mL			Silva 2021
Kombucha Fermentação de 7 dias	1,563%	>50%			Mizuta et al 2020
Papaína	0,98 µg / mL	3,91 µg / mL	-	-	Anjos et al, 2016
Bromelina	62,5 µg / mL	250 µg / mL	-	-	Anjos et al, 2016
Papaína	0.98 mg/mL	3.91 mg/mL			Anjos et AL, 2018
Papaína microencapsula da com alginato	3.91 mg/mL	62.5 mg/mL			

---

Papaína microencapsula da com quitosana	1.95 mg/mL	7.81 mg/mL	
Bromelina	62.5 mg/mL	250 mg/mL	Anjos et AL, 2018
Bromelina microencapsula da com alginato	1000 mg/mL	1000 mg/mL	
Bromelina microencapsula da com quitosana	500 mg/mL	1000 mg/mL	

---

1286

1287

1288 **Tabela 2**

1289 Experimento realizado por diferentes estudos com antimicrobianos naturais contra células  
 1290 vegetativas e esporos de *A.acidoterrestris*.

<b>ANTIMICROBIANO NATURAL</b>	<b>CÉLULAS VEGETATIVAS/ESPOROS</b>	<b>EXPERIMENTO REALIZADO</b>	<b>AUTORES</b>
Extrato de alecrim	Células vegetativas	Extratos de alecrim + suco de maçã após 24 hrs	Piskernik, 2016
Extrato de semente de uva	Células vegetativas	Extrato de semente de uva + suco de maçã	Molva et al, 2015
Extrato de romã	Células vegetativas e esporos	Extrato de romã + suco de maçã + células ou esporos	Molva et AL, 2015
Biocitro e extrato de limão	esporos	Biocitro ou extrato de limão + suco de maçã + esporos	Bevilacqua, 2013
Saponina	Esporos	Tratamento térmico + saponina + suco de laranja	Alberice et AL, 2012
Cinamaldeído e eugenol	Esporos	Cinamaldeído e eugenol + suco de maçã + esporos Por 7 dias, 35	Bevilacqua et AL, 2010
Nisina	Esporos	Nisina (15.62µg/mL) + Uvc (2.52 kJ/m2) em suco de laranja	Ferreira et AL, 2020
Nanopartícula de nisina	Células e esporos	Nanopartícula de nisina + suco de maçã + células ou esporos	Song 2019
Extrato de fungo	Células vegetativas	Extrato na concentração (2.000 µg / mL) + células + suco laranja reconstituído	Silva et AL, 2021
	Esporos	Extrato na concentração (2.000 µg / mL) + esporos + suco	

		laranja reconstituído	
Kombucha	células	Kombucha + células + suco de laranja	Mizuta et AL, 2020
Papaina	Células vegetativas	Papaina + suco de laranja	Anjos et AL, 2016
Bromelina	Células vegetativas	Papaina + suco de laranja	Anjos et AL, 2016

1291

1292

1293 Por fim, todos os estudos consultados para esta pesquisa de revisão científica que testaram  
1294 compostos naturais como conservantes de sucos de frutas contra *A. acidoterrestris* apresentaram,  
1295 em sua maioria, efeitos eficazes com baixos valores de concentrações inibitórias e bactericidas  
1296 mínimas tanto para células como para esporos. Além disso, as aplicações em sucos de frutas se  
1297 mostraram positivas e promissoras para serem utilizadas em maior escala pela indústria de  
1298 alimentos. Porém, para cada estudo consultado do composto natural observou-se que há pouco  
1299 ou apenas um único estudo realizado, tornando-se necessários maiores investigações sobre cada  
1300 conservante natural aqui apresentado.

1301

1302 Conclusão

1303 Alimentos e bebidas que utilizam compostos naturais tem sido preferência dos  
1304 consumidores por oferecerem maior segurança à saúde e qualidade na conservação de alimentos.  
1305 Extratos de plantas, óleos essenciais, bacteriocina, extrato de fungo endofítico, kombucha e  
1306 enzimas mostraram um efeito antimicrobiano eficaz contra *A. acidoterrestris*.

1307 Embora os estudos de cada antimicrobiano natural apresentado nesta pesquisa ainda  
1308 sejam iniciais ou pouco testadas, a indústria de sucos de frutas tem alternativas promissoras que  
1309 são aprovadas para uso e podem garantir a qualidade das bebidas.

1310

- 1311 Referências
- 1312 Alberice, J. V.; Funes-Huacca, M. E.; Guterres, S. B.; Carrilho, E. 2012. Inactivation of  
1313 *Alicyclobacillus acidoterrestris* in orange juice by saponin extracts combined with heat-  
1314 treatment. International Journal of Food Microbiology, 159, 130–  
1315 135.<https://doi.org/10.1016/j.ijfoodmicro.2012.08.004>
- 1316
- 1317 Anjos, M. M.; Endo, E. H.; Leimann, F. V.; Gonçalves, O. H.; Dias-Filho, B. P.; Abreu Filho, B.  
1318 A. 2018. Preservation of the antibacterial activity of enzymes against *Alicyclobacillus* spp.  
1319 through microencapsulation. LWT - Food Science and Technology, 88, 18–  
1320 25.<https://doi.org/10.1016/j.lwt.2017.09.039>
- 1321
- 1322 Anjos, M. M.; Silva, A. A.; Pascoli, I. C.; Mikcha, J. M. G.; Machinski Junior, M.; Peralta, R.  
1323 M.; Abreu Filho, B. A. 2016. Antibacterial activity of papain and bromelain on *Alicyclobacillus*  
1324 spp. International Journal of Food Microbiology, 216, 121–  
1325 126.<https://doi.org/10.1016/j.ijfoodmicro.2015.10.007>
- 1326
- 1327 Batiha, G. E.; Hussein, D. E.; Algammal, A. M.; George, T. T.; Jeandet, P.; Al-Snafi, A. E.; Tiwari,  
1328 A.; Pagnossa, J. P.; Lima, C. M.; Thorat, N. D.; Zahoor, M.; El-Esawi, M.; Dey, A.; Alghamdi,  
1329 S.; Hetta, H. F.; Cruz-Martins, N. 2021. Application of natural antimicrobials in food  
1330 preservation: Recent views. Food Control, 126,  
1331 108066.<https://doi.org/10.1016/j.foodcont.2021.108066>
- 1332
- 1333 Bevilacqua, A.; Campaniello, D.; Speranza, B.; Sinigaglia, M.; Corbo, M. R. 2013. Control of  
1334 *Alicyclobacillus acidoterrestris* in apple juice by citrus extracts and a mild heat-treatment. Food  
1335 Control, 31, 553–559.<https://doi.org/10.1016/j.foodcont.2012.12.014>
- 1336
- 1337 Bevilacqua, A., Corbo, M.R., D'Amato, D., Campaniello, D., Sinigaglia, M.

- 1338 2005. Caratterizzazione fenotipica di ceppi di *Alicyclobacillus* spp. isolati da suolo. Ricerche e  
1339 innovazioni nell'industria alimentare, vol. VII. Proceedings of the VII Italian Conference of Food  
1340 Science and Technology (Cernobbio-CO, Italy—19-20 September 2005). Chiriotti Editori,  
1341 Pinerolo, TO, Italy, pp. 1201–1205.
- 1342
- 1343 Bevilacqua, A.; Corbo, M. R.; Sinigaglia, M. 2010. Combining eugenol and cinnamaldehyde to  
1344 control the growth of *Alicyclobacillus acidoterrestris*. Food Control, 21, 172–  
1345 177. <https://doi.org/10.1016/j.foodcont.2009.05.002>
- 1346
- 1347 Bevilacqua, A., Sinigaglia, M., Corbo, M. 2009. Effects of pH, cinnamaldehyde and  
1348 heat-treatment time on spore viability of *Alicyclobacillus acidoterrestris*. International  
1349 Journal of Food Science and Technology, 44, 340-385. <https://doi.org/10.1111/j.1365->  
1350 2621.2008.01776.x
- 1351
- 1352 Cai, R.; Hu, M.; Zhang, Y.; Niu, C.; Yue, T.; Yuan, Y.; Wang, Z. 2019. Antifungal activity and  
1353 mechanism of citral, limonene and eugenol against *Zygosaccharomyces rouxii*. LWT - Food  
1354 Science and Technology, 106, 50–56. <https://doi.org/10.1016/j.lwt.2019.02.059>
- 1355
- 1356 Cai, R.; Zhang, M.; Cui, L.; Yuan, Y.; Yang, Y.; Wang, Z.; Yue, T. 2019. Antibacterial activity  
1357 and mechanism of thymol against *Alicyclobacillus acidoterrestris* vegetative cells and spores.  
1358 LWT - Food Science and Technology, 105, 377–384. <https://doi.org/10.1016/j.lwt.2019.01.066>
- 1359
- 1360 Cerny, G.; Hennlich, W.; Poralla, K. 1984. Spoilage of fruit juice by bacilli: Isolation and  
1361 characterisation of the spoiling microorganism. Zeitschrift fur Lebensmittel-untersuchung und –  
1362 forschung, 179, 224–227. <https://doi.org/10.1007/bf01041898>.
- 1363
- 1364 Chang, S.S.; Park, S. H.; Kang, D. H. 2013. Development of novel agar media for isolating

- 1365 guaiacol producing *Alicyclobacillus* spp. International Journal of Food Microbiology, 164, 1–6.
- 1366 <http://dx.doi.org/10.1016/j.ijfoodmicro.2013.03.015>
- 1367
- 1368 Chun, S.; Vattem, D.A., Lin, Y. T., Shetty, K. 2005. Phenolic antioxidants from clonal oregano
- 1369 (*Origanum vulgare*) with antimicrobial activity against *Helicobacter pylori*. Process Biochem.,
- 1370 40, 809–816. <https://doi.org/10.1016/j.procbio.2004.02.018>.
- 1371
- 1372 Ciuffreda, E., Bevilacqua, A., Sinigaglia, M., Corbo, M. R. 2015. *Alicyclobacillus* spp.: new
- 1373 insights on ecology and preserving food quality through new approaches. Microorganisms, 3(4),
- 1374 625–640. <https://doi.org/10.3390/microorganisms3040625>
- 1375
- 1376 Dehghan, P.; Mohammadi, A.; Mohammadzadeh-Aghdash, H.; Dolatabadi, J. E. N. 2018.
- 1377 Pharmacokinetic and toxicological aspects of potassium sorbate food additive and its
- 1378 constituents. Trends in Food Science & Technology, 80, 123–
- 1379 130.<https://doi.org/10.1016/j.tifs.2018.07.012>
- 1380
- 1381 Deinhard, G., Blanz, P., Poralla, K., Altan, E. 1987. *Bacillus acidoterrestris* sp. nov., a new
- 1382 thermotolerant acidophile isolated from different soils. Systematic & Applied Microbiology, 10,
- 1383 47–53. [https://doi.org/10.1016/S0723-2020\(87\)80009-7](https://doi.org/10.1016/S0723-2020(87)80009-7)
- 1384
- 1385 de Nova, P. J. G.; Carvajal, A.; Prieto, M.; Rubio, P. 2017. In vitro susceptibility of *Brachyspira*
- 1386 *hyodysenteriae* to a commercial citrus fruit extract. Research in Veterinary Science, 115, 318–
- 1387 324.<https://doi.org/10.1016/j.rvsc.2017.06.010>
- 1388
- 1389 Dutra, T. V., Castro, J. C., Menezes, J. L., Ramosa, T. R., Prado, I. P., Junior, M. M., et al. 2019.
- 1390 Bioactivity of oregano (*Origanum vulgare*) essential oil against *Alicyclobacillus* spp. Industrial
- 1391 Crops and Products, 129, 345–349. <https://doi.org/10.1016/j.indcrop.2018.12.025>

1392

1393 Escobar, A.; Perez, M.; Romanelli, G.; Blustein, G. 2020.Thymol bioactivity: A review focusing  
1394 on practical applications. Arabian Journal of Chemistry, 13, 9243–  
1395 9269.<https://doi.org/10.1016/j.arabjc.2020.11.009>

1396

1397

1398 Ferreira, T. V.; Mizuta, A. G.; de Menezes, J. L.; Dutra, T. V.; Bonin, E.; Castro, J. C.; Szczerepa,  
1399 M. M. A.; Pilau, E. J.; Nakamura, C. V.; Mikcha, J. M. G.; Abreu Filho, B. A. 2020.Effect of  
1400 ultraviolet treatment (UV-C) combined with nisin on industrialized orange juice in  
1401 *Alicyclobacillus acidoterrestris* spores. LWT - Food Science and Technology, 133, 109911.

1402 <https://doi.org/10.1016/j.lwt.2020.109911>

1403

1404 Gutierrez, J.; Rodriguez, G.; Barry-Ryan, C.; Bourke, P. 2008. Efficacy of plant essential oils  
1405 against food-borne pathogens and spoilage bacteria associated with ready to eat vegetables:  
1406 antimicrobial and sensory screening. J. Food Prot., 71 (9), 1846–  
1407 1854.<https://doi.org/10.4315/0362-028X-71.9.1846>

1408

1409 Huertas, J. P.; Esteban, M. D.; Antolinos, V.; Palop, A. 2014.Combined effect of natural  
1410 antimicrobials and thermal treatments on *Alicyclobacillus acidoterrestris* spores. Food Control,  
1411 35, 73-78.<https://doi.org/10.1016/j.foodcont.2013.06.051>

1412

1413 Mizutaa, A. G.; de Menezes, J. L.; Dutra, T. V.; Ferreira, T. V.; Castro, J. C.; Cler da Silva, C. A.  
1414 J.; Pilau, E. J.; Machinski Junior, M.; Abreu Filho, B. A. 2020.Evaluation of antimicrobial  
1415 activity of green tea kombucha at two fermentation time points against *Alicyclobacillus* spp.  
1416 LWT - Food Science and Technology, 130, 109641.<https://doi.org/10.1016/j.lwt.2020.109641>

1417

1418 Molva, C.; Baysal, A. H. 2015. Evaluation of bioactivity of pomegranate fruit extract against

- 1419 *Alicyclobacillus acidoterrestris* DSM 3922 vegetative cells and spores in apple juice. LWT -  
1420 Food Science and Technology, 62, 989-995. <https://doi.org/10.1016/j.lwt.2015.02.021>
- 1421
- 1422 Najafloo, R.; Behyari, M.; Imani, R.; Nour, S. 2020. A mini-review of Thymol incorporated  
1423 materials: Applications in antibacterial wound dressing. Journal of Drug Delivery Science and  
1424 Technology, 60, 101904.<https://doi.org/10.1016/j.jddst.2020.101904>
- 1425
- 1426 Ng, K. R.; Lyu, X.; Mark, R.; Chen, W. N. 2019. Antimicrobial and antioxidant activities of  
1427 phenolic metabolites from flavonoid-producing yeast: Potential as natural food preservatives.  
1428 Food Chemistry, 270, 123–129.<https://doi.org/10.1016/j.foodchem.2018.07.077>
- 1429
- 1430 Nowshehri, J. A.; Bhat, Z. A.; Shah, M. Y. 2015. Blessings in disguise: Bio-functional benefits  
1431 of grape seed extracts. Food Research International, 77, 333–  
1432 348.<https://doi.org/10.1016/j.foodres.2015.08.026>
- 1433
- 1434 Ocana-Fuentes, A.; Arranz-Gutierrez, E.; Senorans, J.; Reglero, G. 2010. Supercritical fluid  
1435 extraction of oregano (*Origanum vulgare*) essentials oils: anti-inflammatory properties based on  
1436 cytokine response on THP-1 macrophages. Food Chem. Toxicol., 48, 1568–1575.  
1437 <https://doi.org/10.1016/j.fct.2010.03.026>
- 1438
- 1439 Pascoli, I. C.; dos anjos, M. M.; Silva, A. A.; Lorenzetti, F. B.; Cortez, D. A. G.; Mikcha, J. M.  
1440 G.; Nakamura, T. U.; Abreu Filho, B. A. 2018. *Piperaceae* extracts for controlling  
1441 *Alicyclobacillus acidoterrestris* growth in commercial orange juice. Industrial Crops and  
1442 Products, 116, 224–230. <https://doi.org/10.1016/j.indcrop.2018.02.073>
- 1443
- 1444 Polônio, M. L. T.; Peres, F. 2009. Food additive intake and health effects: public health challenges  
1445 in Brazil. Cad. Saúde Pública, Rio de Janeiro, 25(8):1653-1666.<https://doi.org/10.1590/S0102->

1446 311X2009000800002

1447

1448 Sanchez-Camargo, A. P.; Herrero, M. 2017. Rosemary (*Rosmarinus officinalis*) as a functional  
1449 ingredient: recent scientific evidence. Current Opinion in Food Science, 14, 13–  
1450 19. <https://doi.org/10.1016/j.cofs.2016.12.003>

1451

1452 Santos, J. C. P.; Sousa, R. C. S.; Otonia, C. G.; Moraes, A. R. F.; Souza, V. G. L.; Medeiros, E.  
1453 A. A.; Espitia, P. J. P.; Pires, A. C. S.; Coimbra, J. S. R.; Soares, N. F. F. 2018. Nisin and other  
1454 antimicrobial peptides: Production, mechanisms of action, and application in active food  
1455 packaging. Innovative Food Science and Emerging Technologies, 48, 179–  
1456 194. <https://doi.org/10.1016/j.ifset.2018.06.008>

1457

1458 Shreaz, S.; Wani, W. A.; Behbehani, J. M.; Raja, V.; Irshad, M.; Karched, M.; Ali, I.; Siddiqi,  
1459 W. A.; Hun, L. T. 2016. Cinnamaldehyde and its derivatives, a novel class of antifungal agents.  
1460 Fitoterapia, 112, 116–131. <https://doi.org/10.1016/j.fitote.2016.05.016>

1461

1462 Silva, A. A.; Polonio, J. C.; Polli, A. D.; Oliveira, J. A. S.; Soares, L. C.; Oliveira Junior, V.  
1463 A.; Vicentini, V. E. P.; Oliveira, A. J. B.; Gonçalves, J. E.; Gonçalves, R. A. C.; Azevedo, J.  
1464 L.; Pamphile, J. A.; Abreu Filho, B. A. 2021. Metabolic extract of the endophytic fungus *Flavodon*  
1465 *flavus* isolated from *Justicia brandegeana* in the control of *Alicyclobacillus acidoterrestris* in  
1466 commercial orange juice. International Journal of Food Microbiology, 338,  
1467 109019. <https://doi.org/10.1016/j.ijfoodmicro.2020.109019>

1468

1469 Songa, Z.; Wu, H.; Niud, C.; Weia, J.; Zhang, Y.; Yue, T. 2019. Application of iron oxide  
1470 nanoparticles @ polydopamine-nisin composites to the inactivation of *Alicyclobacillus*  
1471 *acidoterrestris* in apple juice. Food Chemistry, 287, 68–  
1472 75. <https://doi.org/10.1016/j.foodchem.2019.02.044>

1473

1474 Spinelli, A. C. N. F.; Sant'Ana, A. S.; Pacheco-Sanchez, C. P.; Massaguer, P. R. 2010. Influence  
1475 of the hot-fill water-spray-cooling process after continuous pasteurization on the number of  
1476 decimal reductions and on *Alicyclobacillus acidoterrestris* CRA 7152 growth in orange juice  
1477 stored at 35 °C. International Journal of Food Microbiology, 137, 295–  
1478 298. <https://doi.org/10.1016/j.ijfoodmicro.2009.11.003>

1479

1480 Thongam, D. D.; Chaturvedi, H. 2021. Effect of biochemical compounds on ZnO nanomaterial  
1481 preparation using aloe vera and lemon extracts. Materials Today: Proceedings, 44, 4299–4304.  
1482 <https://doi.org/10.1016/j.matpr.2020.10.548>

1483

1484 Vijeesh, V.; Jisha, N.; Vysakh, A.; Latha, M. S. 2021. Interaction of eugenol with xanthine  
1485 oxidase: Multi spectroscopic and in silico modelling approach. Spectrochimica Acta Part A:  
1486 Molecular and Biomolecular Spectroscopy, 258,  
1487 119843. <https://doi.org/10.1016/j.saa.2021.119843>

1488

1489

1490

1491

1492

1493

1494

1495

1496

1497

## Revista Ciência Rural- Normas para publicação

**ESCOPO:** **1. CIÊNCIA RURAL** - Revista Científica do Centro de Ciências Rurais da Universidade Federal de Santa Maria publica artigos científicos, revisões bibliográficas e notas referentes à área de Ciências Agrárias, que deverão ser destinados com exclusividade. **2. Os artigos científicos, revisões e notas** devem ser encaminhados via eletrônica e editados **preferencialmente em idioma Inglês**. Os encaminhados em Português poderão ser traduzidos após a 1º rodada de avaliação para que ainda sejam revisados pelos consultores ad hoc e editor associado em rodada subsequente. Entretanto, caso **não traduzidos** nesta etapa e se **aprovados** para publicação, terão que ser **obrigatoriamente traduzidos para o Inglês** por empresas credenciadas pela Ciência Rural e obrigatoriamente terão que apresentar o certificado de tradução pelas mesmas para seguir tramitação na CR.

### **Empresas credenciadas:**

- American Journal Experts (<http://www.journalexperts.com/>)
- Bioedit Scientific Editing (<http://www.bioedit.co.uk/>)
- BioMed Proofreading (<http://www.biomedproofreading.com>)
- Edanz (<http://www.edanzediting.com>)
- Editage (<http://www.editage.com.br/>) 10% discount for CR clients. Please inform Crural10 code.
- Editione (<http://www.editione.com>)
- Enago (<http://www.enago.com.br/forjournal/>) Please inform CIRURAL for special rates.
- GlobalEdico (<http://www.globaledico.com/>)
- JournalPrep (<http://www.journalprep.com>)
- Liberty Medical Communications (<http://libertymedcom.com/>)
- Proof-Reading-Service.com (<http://www.proof-reading-service.com/pt/>)
- Readytopub (<https://www.readytopub.com/home>)

### **LIMITE DE PÁGINAS:**

Todas as linhas deverão ser numeradas e paginadas no lado inferior direito. O trabalho deverá ser digitado em tamanho A4 210 x 297mm com, no máximo, 25 linhas por página em espaço duplo, com margens superior, inferior, esquerda e direita em 2,5cm, fonte Times New Roman e tamanho 12. O máximo de páginas será **15 para artigo científico, 20 para revisão bibliográfica e 8 para nota, incluindo tabelas, gráficos e figuras**. Figuras, gráficos e tabelas devem ser disponibilizados ao final do texto e individualmente por página, sendo que não poderão ultrapassar as margens e **nem estar com apresentação paisagem**.

**Tendo em vista o formato de publicação eletrônica estaremos considerando manuscritos com páginas adicionais além dos limites acima. No entanto, os trabalhos aprovados que possuírem páginas excedentes terão um custo adicional para a publicação ([vide taxa](#)).**

### **ESTRUTURA:**

**3. O artigo científico (Modelo .doc, .pdf) deverá conter os seguintes tópicos:** Título (Português e Inglês); Resumo; Palavras-chave; Abstract; Key words; Introdução com Revisão de Literatura; Material e Métodos; Resultados e Discussão ou resultados/discussão (juntos); Conclusão; Referências e Declaração de conflito de interesses. Agradecimento(s) e Apresentação; Contribuição dos autores; Fontes de Aquisição; Informe Verbal; Comitê de Ética e Biossegurança devem aparecer antes das referências. **Pesquisa envolvendo seres humanos e animais obrigatoriamente devem apresentar parecer de aprovação de um comitê de ética institucional já na submissão.** Alternativamente, pode ser enviado um dos modelos ao lado ([Declaração Modelo Humano](#), [Declaração Modelo Animal](#)).

**4. A revisão bibliográfica** (Modelo [.doc](#), [.pdf](#)) **deverá conter os seguintes tópicos:** Título (Português e Inglês); Resumo; Palavras-chave; Abstract; Key words; Introdução; Desenvolvimento; Conclusão; Referências e Declaração de conflito de interesses. Agradecimento(s) e Apresentação; Contribuição dos autores; Fontes de Aquisição e Informe Verbal; Comitê de Ética e Biossegurança devem aparecer antes das referências. **Pesquisa envolvendo seres humanos e animais obrigatoriamente devem apresentar parecer de aprovação de um comitê de ética institucional já na submissão.** Alternativamente pode ser enviado um dos modelos ao lado ([Declaração Modelo Humano](#), [Declaração Modelo Animal](#)).

**5. A nota** (Modelo [.doc](#), [.pdf](#)) **deverá conter os seguintes tópicos:** Título (Português e Inglês); Resumo; Palavras-chave; Abstract; Key words; Texto (sem subdivisão, porém com Introdução; Metodologia; Resultados e Discussão e Conclusão; podendo conter tabelas ou figuras); Referências e Declaração de conflito de interesses. Agradecimento(s) e Apresentação; Contribuição dos autores; Fontes de Aquisição e Informe Verbal; Comitê de Ética e Biossegurança devem aparecer antes das referências. **Pesquisa envolvendo seres humanos e animais obrigatoriamente devem apresentar parecer de aprovação de um comitê de ética institucional já na submissão.** Alternativamente pode ser enviado um dos modelos ao lado ([Declaração Modelo Humano](#), [Declaração Modelo Animal](#)).

**COVER LETTER:** **6.** O preenchimento do campo "cover letter" deve apresentar, obrigatoriamente, as seguintes informações em inglês, **exceto** para artigos **submetidos em português** (lembrando que preferencialmente os artigos devem ser submetidos em inglês).

- a)** What is the major scientific accomplishment of your study?
- b)** The question your research answers?
- c)** Your major experimental results and overall findings?
- d)** The most important conclusions that can be drawn from your research?
- e)** Any other details that will encourage the editor to send your manuscript for review?

Para maiores informações acesse o seguinte [tutorial](#).

**7.** Não serão fornecidas separatas. Os artigos encontram-se disponíveis no formato pdf no endereço eletrônico da revista [www.scielo.br/cr](http://www.scielo.br/cr).

**TÍTULOS:** **8.** Descrever o título em português e inglês (caso o artigo seja em português) - inglês e português (caso o artigo seja em inglês). Somente a primeira letra do título do artigo deve ser maiúscula exceto no caso de nomes próprios. Evitar abreviaturas e nomes científicos no título. O nome científico só deve ser empregado quando estritamente necessário. Esses devem aparecer nas palavras-chave, resumo e demais seções quando necessários. **9.** As citações dos autores, no texto, deverão ser feitas com letras maiúsculas seguidas do ano de publicação, conforme exemplos: Esses resultados estão de acordo com os reportados por MILLER & KIPLINGER (1966) e LEE et al. (1996), como uma má formação congênita (MOULTON, 1978).

**10.** Nesse [link](#) é disponibilizado o **arquivo de estilo** para uso com o software **EndNote** (o EndNote é um software de gerenciamento de referências, usado para gerenciar bibliografias ao escrever ensaios e artigos). Também é disponibilizado nesse [link](#) o **arquivo de estilo** para uso com o software **Mendeley**.

## REFERÊNCIAS:

**11.** As Referências deverão ser efetuadas no estilo ABNT (NBR 6023/2000) conforme normas próprias da revista.

**11.1.** Citação de livro:

JENNINGS, P.B. **The practice of large animal surgery**. Philadelphia : Saunders, 1985. 2v.

TOKARNIA, C.H. et al. (Mais de dois autores) **Plantas tóxicas da Amazônia a bovinos e outros herbívoros.** Manaus : INPA, 1979. 95p.

#### **11.2.** Capítulo de livro com autoria:

GORBAMAN, A. A comparative pathology of thyroid. In: HAZARD, J.B.; SMITH, D.E. **The thyroid.** Baltimore : Williams & Wilkins, 1964. Cap.2, p.32-48.

#### **11.3.** Capítulo de livro sem autoria:

COCHRAN, W.C. The estimation of sample size. In: \_\_\_\_\_. **Sampling techniques.** 3.ed. New York : John Wiley, 1977. Cap.4, p.72-90.

TURNER, A.S.; McILWRAITH, C.W. Fluidoterapia. In: \_\_\_\_\_. **Técnicas cirúrgicas em animais de grande porte.** São Paulo : Roca, 1985. p.29-40.

#### **11.4.** Artigo completo:

O autor deverá acrescentar a url para o artigo referenciado e o número de identificação DOI (Digital Object Identifiers), conforme exemplos abaixo:

MEWIS, I.; ULRICHS, CH. Action of amorphous diatomaceous earth against different stages of the stored product pests *Tribolium confusum* (Coleoptera: Tenebrionidae), *Tenebrio molitor* (Coleoptera: Tenebrionidae), *Sitophilus granarius* (Coleoptera: Curculionidae) and *Plodia interpunctella* (Lepidoptera: Pyralidae). **Journal of Stored Product Research**, Amsterdam (**Cidade opcional**), v.37, p.153-164, 2001. Available from: <[http://dx.doi.org/10.1016/S0022-474X\(00\)00016-3](http://dx.doi.org/10.1016/S0022-474X(00)00016-3)>. Accessed: Mar. 18, 2002. doi: 10.1016/S0022-474X(00)00016-3.

PINTO JUNIOR, A.R. et al (Mais de 2 autores). Response of *Sitophilus oryzae* (L.), *Cryptolestes ferrugineus* (Stephens) and *Oryzaephilus surinamensis* (L.) to different concentrations of diatomaceous earth in bulk stored wheat. **Ciência Rural** , Santa Maria (**Cidade opcional**), v. 38, n. 8, p.2103-2108, nov. 2008 . Available from: <[http://www.scielo.br/scielo.php?script=sci\\_arttext&pid=S0103-84782008000800002&lng=pt&nrm=iso](http://www.scielo.br/scielo.php?script=sci_arttext&pid=S0103-84782008000800002&lng=pt&nrm=iso)>. Accessed: Mar. 18, 2009. doi: 10.1590/S0103-84782008000800002.

SENA, D. A. et al. Vigor tests to evaluate the physiological quality of corn seeds cv. 'Sertanejo'. **Ciência Rural**, Santa Maria , v. 47, n. 3, e20150705, 2017 . Available from: <[http://www.scielo.br/scielo.php?script=sci\\_arttext&pid=S0103-84782017000300151&lng=pt&nrm=iso](http://www.scielo.br/scielo.php?script=sci_arttext&pid=S0103-84782017000300151&lng=pt&nrm=iso)>. Accessed: Mar. 18, 2017. Epub 15-Dez-2016. doi: 10.1590/0103-8478cr20150705 (**Artigo publicado eletronicamente**).

#### **11.5.** Resumos:

RIZZARDI, M.A.; MILGIORANÇA, M.E. Avaliação de cultivares do ensaio nacional de girassol, Passo Fundo, RS, 1991/92. In: JORNADA DE PESQUISA DA UFSM, 1., 1992, Santa Maria, RS. **Anais...** Santa Maria : Pró-reitoria de Pós-graduação e Pesquisa, 1992. V.1. 420p. p.236. (**OBS.: tentar evitar esse tipo de citação**).

#### **11.6.** Tese, dissertação:

COSTA, J.M.B. **Estudo comparativo de algumas características digestivas entre bovinos (Charolês) e bubalinos (Jafarabad).** 1986. 132f. Monografia/Dissertação/Tese (Especialização/ Mestrado/ Doutorado em Zootecnia) - Curso de Pós-graduação em Zootecnia, Universidade Federal de Santa Maria. (**OBS.: tentar evitar esse tipo de citação**).

#### **11.7.** Boletim:

ROGIK, F.A. **Indústria da lactose.** São Paulo : Departamento de Produção Animal, 1942. 20p. (Boletim Técnico, 20). (**OBS.: tentar evitar esse tipo de citação**).

### **11.8. Informação verbal:**

Identificada no próprio texto logo após a informação, através da expressão entre parênteses. Exemplo: ... são achados descritos por Vieira (1991 - Informe verbal). Ao final do texto, antes das Referências Bibliográficas, citar o endereço completo do autor (incluir E-mail), e/ou local, evento, data e tipo de apresentação na qual foi emitida a informação.

### **11.9. Documentos eletrônicos:**

**MATERA, J.M. Afecções cirúrgicas da coluna vertebral: análise sobre as possibilidades do tratamento cirúrgico.** São Paulo : Departamento de Cirurgia, FMVZ-USP, 1997. 1 CD. (**OBS.: tentar evitar esse tipo de citação.**)

GRIFON, D.M. Artroscopic diagnosis of elbow dysplasia. In: WORLD SMALL ANIMAL VETERINARY CONGRESS, 31., 2006, Prague, Czech Republic. **Proceedings...** Prague: WSAVA, 2006. p.630-636. Online. Available from: <<http://www.ivis.org/proceedings/wsava/2006/lecture22/Griffon1.pdf?LA=1>>. Accessed: Mar. 18, 2005 (**OBS.: tentar evitar esse tipo de citação.**)

UFRGS. **Transgênicos.** Zero Hora Digital, Porto Alegre, 23 mar. 2000. Especiais. Online. Available from: <<http://www.zh.com.br/especial/index.htm>>. Accessed: Mar. 18, 2001(**OBS.: tentar evitar esse tipo de citação.**)

ONGPHIPHADHANAKUL, B. Prevention of postmenopausal bone loss by low and conventional doses of calcitriol or conjugated equine estrogen. **Maturitas**, (Ireland), v.34, n.2, p.179-184, Feb 15, 2000. Obtido via base de dados MEDLINE. 1994-2000. Online. Available from: <<http://www.Medscape.com/server-java/MedlineSearchForm>>. Accessed: Mar. 18, 2007.

MARCHIONATTI, A.; PIPPI, N.L. Análise comparativa entre duas técnicas de recuperação de úlcera de córnea não infectada em nível de estroma médio. In: SEMINARIO LATINOAMERICANO DE CIRURGIA VETERINÁRIA, 3., 1997, Corrientes, Argentina. **Anais...** Corrientes : Facultad de Ciencias Veterinarias - UNNE, 1997. Disquete. 1 disquete de 31/2. Para uso em PC. (**OBS.: tentar evitar esse tipo de citação.**)

### **DESENHOS, GRÁFICOS E FOTOGRAFIAS:**

**12.** Desenhos, gráficos e fotografias serão denominados figuras e terão o número de ordem em algarismos arábicos. A revista não usa a denominação quadro. As figuras devem ser disponibilizadas individualmente por página. Os desenhos, as figuras e osgráficos (com largura de no máximo 16cm) devem ser feitos em editor gráfico sempre em qualidade máxima com pelo menos 300 dpi em extensão .tiff. As tabelas devem conter a palavra tabela, seguida do número de ordem em algarismo arábico e não devem exceder uma lauda.

**13.** Os conceitos e afirmações contidos nos artigos serão de inteira responsabilidade do(s) autor(es).

**14.** Será obrigatório o cadastro de todos autores nos metadados de submissão. O artigo não tramitará enquanto o referido item não for atendido. Excepcionalmente, mediante consulta prévia para a Comissão Editorial outro expediente poderá ser utilizado.

**15.** Lista de verificação (Checklist [.doc](#), [.pdf](#)).

**16.** Os artigos serão publicados em ordem de aprovação.

**17.** Os artigos não aprovados serão arquivados havendo, no entanto, o encaminhamento de uma justificativa pelo indeferimento.

**18.** Em caso de dúvida, consultar artigos de fascículos já publicados antes de dirigir-se à Comissão Editorial.

**19.** Todos os artigos encaminhados devem pagar a [taxa de tramitação](#). Artigos reencaminhados (**com decisão de Reject and Ressubmit**) deverão pagar a taxa de tramitação novamente. Artigos arquivados por **decurso de prazo** não terão a taxa de tramitação reembolsada.

**20.** Todos os artigos submetidos passarão por um processo de verificação de plágio usando o programa “Cross Check”.

#### **CONTRIBUIÇÃO DOS AUTORES:**

##### **21. Contribuição dos autores**

Para se qualificar para a autoria do manuscrito submetido, todos os autores listados deveriam ter contribuições intelectuais substanciais tanto para a pesquisa quanto para sua preparação. Por favor, use um dos exemplos abaixo ou faça o seu.

##### **Exemplo um**

RW, RA e RCNO conceberam e projetaram experimentos. WC, LM e AA realizaram os experimentos, BB realizou as análises laboratoriais. BB supervisionou e coordenou os experimentos com animais e forneceu dados clínicos. BB realizou análises estatísticas de dados experimentais. WC, MB e NO preparam o rascunho do manuscrito. Todos os autores revisaram criticamente o manuscrito e aprovaram a versão final.

##### **Exemplo dois**

Todos os autores contribuíram igualmente para a concepção e redação do manuscrito. Todos os autores revisaram criticamente o manuscrito e aprovaram a versão final.

##### **Exemplo três**

Os autores contribuíram igualmente para o manuscrito

#### **ORCID:**

**22.** O ORCID (Open Research and Contributors Identification) permite a criação de identificadores digitais únicos (ORCID ID) para pesquisadores, facilitando a identificação nacional e internacional do pesquisador e sua produção.

Dessa forma **recomendamos** que todos os autores de cada submissão adotem o registro **ORCiD** em suas publicações.